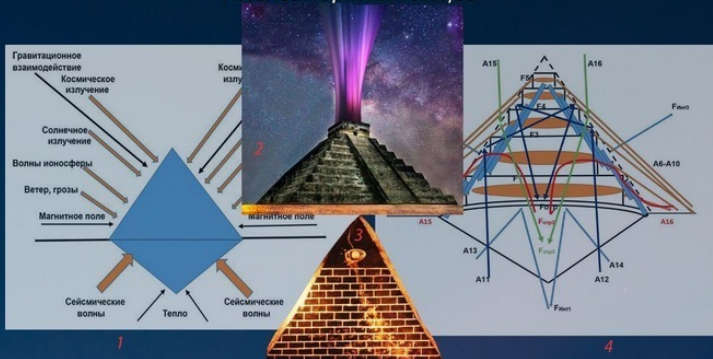
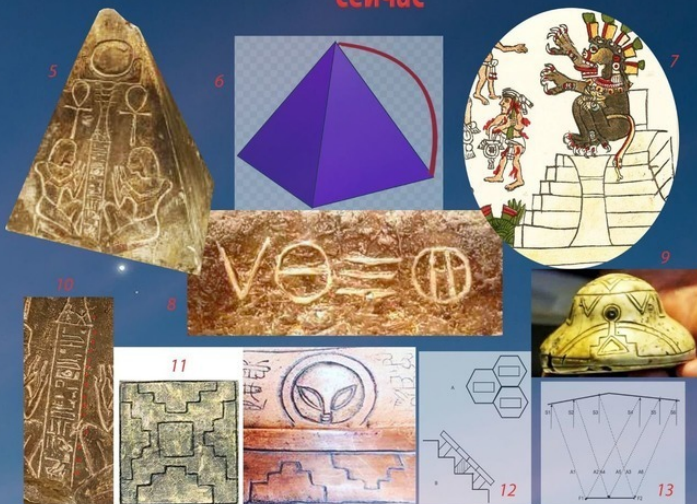


# Александр Матанцев



## Пирамиды - источники огромной энергии по древним технологиям и возможности сейчас



**Александр Матанцев**  
**Пирамиды – источники**  
**огромной энергии**  
**по древним технологиям**  
**и возможности сейчас**

*[http://www.litres.ru/pages/biblio\\_book/?art=66791958](http://www.litres.ru/pages/biblio_book/?art=66791958)  
ISBN 9785005569684*

**Аннотация**

Артефакты дают подсказки по извлечению энергии через пирамиду. Автор показал известные и свои способы получения энергии в пирамидах, расшифровал надписи на пирамидах и артефактах по взаимодействию видов энергии, создал универсальную версию пирамиды по древним технологиям с источниками энергии от Солнца, Земли, ветра, магнитного поля. Автор рассчитал, что энергия пирамид сравнима с самыми мощными в мире ГЭС и АЭС. Даны рекомендации по восстановлению и созданию новых пирамид огромной мощности.

# Содержание

На обложке	6
Введение	8
Подсказки по артефактам	20
Примеры подсказок по пирамидам из артефактов Египта и Мексики	26
Автор, Александр Матанцев, дает точную расшифровку надписи на пирамиде Хеопса	63
Энергетика пирамид. Способы получения энергии	75
Известные возобновляемые источники энергии	75
Дополнительные нетрадиционные ресурсы возобновляемых источников энергии	80
Причины выбора места с повышенной энергетикой	90
Анализ литературных источников по тектонической активности	117
Способы определения энергии и мощности сейсмических волн	128
Тектоническая активность в Египте и характеристика реки Нил	131
Расчеты энергии и мощности землетрясений в Мексике и	136

Соотношение мощности, извлекаемой от солнечного излучения и от упругих волн Земли	142
Термоэлектрические явления	144
Резонансные свойства пирамид	147
Резонансы в условиях генерации волн и образования стоячих волн в конструкциях пирамид с воздушным пространством	163
Фокусировка или сжатие сейсмического сигнала внутри	173
Конец ознакомительного фрагмента.	178

# **Пирамиды – источники огромной энергии по древним технологиям и возможности сейчас**

**Александр Матанцев**

© Александр Матанцев, 2021

ISBN 978-5-0055-6968-4

Создано в интеллектуальной издательской системе Ridero

# На обложке

1 – воздействия в пирамиде;

2 – энергия от пирамиды в Теотиуакане;

3 – пирамидион с кристаллом на макушке, которому

17 тыс. лет, найденный в подземелье;

4 – сравнение пирамиды в Гизе и в Теотиуакане по формируемым полям и излучениям;

5 – пирамидион, с изображением воздействия поля двух людей на джед и далее с воздействием Солнца;

6 – пирамида в виде полуволнового концентратора энергии;

7 – рисунок из Кодекса Мальябекиано (майя), на пирамиде (мексиканской) сидит Бог «пятой планеты»; в основании пирамиды есть атрибуты с двумя, тремя и четырьмя деталями – это признаки того, **что от пирамиды запитывались корабли землян, венерианцев и марсиан**; среди фигур показаны: венерианцы (с двумя хохолками) и земляне, с Венеры спустили воинов на Землю;

8 – надпись на пирамиде Хеопса, расшифровка сделана автором, Александром Матанцевым: **«Взаимодействуют постоянно дополняющие друг друга силы Земли и силы Солнца. Для этого процесса необходим постоянный контроль или наблюдение»**; кроме того, так как указана первая триграмма из древней китайской Книги Пе-

ремен, то **можно дополнить о возможности получения металла, например, золота.**

9 – артефакт Мексики с изображением НЛО и пирамиды с кристаллом на макушке;

10 – центральная часть артефакта 5, расшифровка автора, Александра Матанцева: «Посвященные воздействуют своим полем. Солнце воздействует на пирамиду. От пирамиды возникает воздействие, которое приносит радость и благополучие. Наибольшее воздействие, когда Солнце в зените. Воздействие от пирамиды доходит до дома. Это приносит здоровье и счастье»;

11 – аналогичные изображения пирамиды на щите короля инков Пачакути и на артефакте Мексики с НЛО;

12 – рисунок автора, Александра Матанцева, закрепление шестигранной облицовки пирамиды Хеопса;

13 – рисунок автора, Александра Матанцева, линия фокуса в вогнутой системе пирамиды Хеопса.

# Введение

Наибольшее число книг в мире написано о пирамидах. Почему такая популярность? Дело не только в том, что пирамида Хеопса – единственно утвержденное чудо Света, а в том, что у пирамид необыкновенные свойства. Описано более 700 способов применения пирамид. Автор ранее в своих книгах [1 – 43] показал, что их **главное свойство – многофункциональность**. Одна и та же пирамида может использоваться для защиты от катастроф и землетрясений, для генерирования энергии, дальней связи, как оружие, для воздействия на человека и даже для обработки руды для получения золота.

В этой книге **рассматриваются свойства пирамид для получения энергии**. Это исследование проводится в нескольких основных направлениях для всестороннего охвата темы:

- по древним артефактам;
- по высказываниям и работам ведущих ученых;
- по собственным версиям автора, Александра Матанцева,
- по сравнению с другими источниками мощной энергии: с ГЭС, АЭС, ГРЭС и др.;
- по указанию свойств для возможности восстановления старых пирамид и создания новых с целью генерирования



больших энергий.

**Дается сравнение с самыми мощными энергетическими станциями в мире**, например, с Саяно-Шушенской ГЭС – 6400 МВт, с АЭС «Фукусима» – 8815 МВт, с Курской АЭС – 3700 МВт, а также с солнечными электростанциями. в Китае, Tengger Desert Solar Park – 1547 МВт.

**Приводятся расчеты мощности электростанций в виде пирамид с использованием энергии Солнца, Земли и др.**

Проводятся расчеты по поучаемой мощности от различных типов пирамид:

- Пирамиды Хеопса.
- Бермудской пирамиды, расположенная в воде;
- Великой пирамиды Чолула в Мексике;
- пирамиды Кайлас, в Тибете, Китай.

**Забегая вперед, можно утверждать, что мощность от крупных пирамид соизмерима с самыми крупными источниками энергии в виде ГЭС и АЭС.**

**Есть еще несколько источника энергии от пирамид:**

- за счет вертикальной составляющей магнитного поля,
- за счет ветра,
- за счет силы Кориолиса,
- за счет гравитационных волн,
- за счет сжигания топлива после получения водорода.

**Их общий вклад составляет, примерно, 15 – 30%.**

**Влияние магнитного поля увеличивается при приближении**

к полюсам.

В «Заключении» рассматривается, **каким образом запустить действующие, или создать новые пирамиды с огромной общей энергией.** При этом делается акцент на следующие условия.

**1 условие. Восстановление водных строений** в виде каналов, хранилищ воды, подводов и отводов воды к пирамиде, восстановление или создание новых регуляторов подачи воды.

**2 условие. Выбор формы пирамиды.** Известны две наиболее часто встречающиеся формы – с внутренними ступенями, как в пирамиде Хеопса и с внешними ступенями, как пирамиды в Мексике, Гватемале и др.

**3 условие. Начальное возбуждение резонансных процессов.**

**4 условие. Точная ориентация по сторонам света.**

**5 условие. Восстановление, или установка резонансных свойств концентратора энергии по высоте пирамиды**

**6 условие. Расположение в месте силы и тектонического разлома.**

**7 условие. Обеспечение устойчивости и сейсмической безопасности пирамиды**

**8 условие. Резонанс колебаний пирамиды с резонансами колебаний Земли.**

**9 условие. Выбор пьезоматериалов.** Это условие стро-

го обязательное, так как электричество формируется на первой стадии пьезоэффекта, когда механические колебания в вырабатывают электроэнергию при вибрирующем механическом воздействии

**10 условие. Процесу пьезоэффекта предшествует процесс формирования колебаний пирамиды.** Как показали исследователи, вся огромная масса пирамиды колеблется с амплитудой от 0,1 мм до 0,01 мм.

**11 условие. Усвоение или принятие энергии излучения Солнца.**

**12 условие. Принятие разных источников энергии – от Солнца, Земли и магнитного поля.** Самое главное достижение пирамиды – возможность использования сразу нескольких источников энергии.

**13 условие. Создание левитации** для свободного перемещения и полетов тяжелых мегалитов и блоков.

**Автор относит себя к исследователям тайн мироздания, древних мегалитических строений, древних технологий, будучи изобретателем, создателем многих авторских свидетельств и патентов.** Работая начальником лаборатории с ученой степенью и научным званием, во «ВНИИ Технической физики и автоматизации», он был инициатором создания нового устройства плазменного пистолета, работающего на обычной воде, воздействующего на каменные структуры, создания модулированных генераторов нейтронов, квадрупольных и времяпролетных масс-спектромет-

ров, высоковольтных импульсных устройств и многих изобретений. На эти устройства получены авторские свидетельства и патенты. Им написаны стандарты по генераторам нейтронов, а также книги по тайнам пирамид, курганов, сейдов, дольменов, менгиров, кромлехов, статуй с острова Пасхи, Стоунхенджу, комплексу Тиуанако, древним календарям, вопросам левитации человека и мегалитов. При этом проводилось обобщение и проводился анализ существующего, и давались собственные гипотезы и расчеты, исследования по географическим картам.

Данное исследование было начато не случайно, а является продолжением целенаправленного **изучения возможностей технологий древних цивилизаций.**

**Автор, Александр Матанцев, решил перечислить читателям свои открытия, гипотезы, расследования, раскрытия, связанные с технологиями древних цивилизаций:**

- выявлен период окончания действия пирамид в Гизе;
- выявлена территория влияния энергетики пирамид;
- сформулировал критерий настоящей пирамиды;
- выявлены категории пирамид в России, нанесено 116 пирамид разной формы на карту России;
- впервые раскрыт календарь катастроф Тиуанако; вычислены орбиты планет до и после катастроф, вычислены орбиты и время катастроф с тремя спутниками Земли и двумя спутниками Венеры;

- впервые раскрыто предназначение взаимно перпендикулярных структур в блоках – для левитации;
- выявлены разрушители комплекса Тиуанако;
- выявлено назначение пирамид в Тиуанако, в том числе, для процесса получения золота;
- выявлена общность Врат Солнца в Тиуанако и П-образных структур в Стоунхендже;
- проведена систематизация сейдов;
- проведена систематизация дольменов и выявлены суммарные возможности по защите от катастроф и землетрясений;
- проведена систематизация менгиров и кромлехов;
- проведена систематизация резонансных курганов, показана их схожее функциональное воздействие с пирамидами;
- выявлено важное назначение мегалитических строений по всему миру – для определения и защиты от катастроф и землетрясений; введены формулы для получения эффективной защиты; в местах с большими тектоническими разломами устанавливали огромные пирамиды, а в местах с небольшой сеткой тектонических разломов устанавливали множество мелких мегалитических сооружений типа дольменов, резонансных курганов;
- выявлено предназначение статуй на острове Пасхи, а также впервые указаны устройства частотной настройки;
- определена систематизация по частотной настройке мегалитических сооружений;

- выявлена планетарная катастрофа по Дендерском Зоди-  
аку;
- раскрыта принадлежность четырехпалых существ и лю-  
дей и выявлена планета, с которой они прибыли на Землю;
- проведена систематизация и расширен круг назначений  
каменных ниш;
- проведена систематизация по календарям россов и рус-  
сов;
- проведена систематизация по календарям майя;
- создана новая теория и схемы по левитации и парению  
человека в воздухе;
- создана новая теория и схемы по левитации камней  
и мегалитов;
- найдены замурованные блоки левитации;
- выявлена тайна изображения летающих пришельцев  
и Богов;
- раскрыта тайна щита короля инков Пачакути и тайны  
щитов воинов инков;
- раскрыта тайная сила войска Александра Македонского  
за счет использования шлема с расширением на макушке,  
связью со щитом и функционирование всей системы за счет  
звуков труб, криков воинов и энергетики территорий;
- выявлено назначение высоких корон богов и фараонов  
Египта, сделаны расчёты по воздействию на ритмы голов-  
ного мозга, выяснены подробно вопросы телепатии и воздей-  
ствия на массы людей;

- сформулированы признаки, по которым можно найти новые пирамиды в России;
- сформулированы подсказки древних цивилизаций по разным направлениям;
- сформулированы по шагам возможности осуществления полигональной кладки с применением технологии размягчения камней;
- определены даты катастроф планет по многочисленным кодексам;
- по различным кодексам выявлены войны между жителями планет: Венеры, Марса, Земли, Меркурия и с участием других планет и спутников;
- выявлены человекообразные мегалиты, похожие на истуканов острова Пасхи, в России: Якутии, Сибири, на Урале; вычислен их возраст и особенности ориентации относительно тектонических разломов;
- систематизировано мегалитическое строительство, начиная от сейдов и до пирамид, выявлены новые звенья: многопиковые, многослойные, пирамиды, и с двумя вершинами;
- впервые выявлен профиль двухпиковых гор-пирамид, например, в Ергаки, он не параболический, а с цепной линией и линейным фокусом, что очень удобно для запитки НЛО на разных расстояниях;
- впервые выявлена промежуточная категория многопиковых пирамид в России;
- впервые выявлена промежуточная категория много-

слойных пирамид в России и описано 17 их разновидностей;

- уточнена промежуточная категория ранних пирамид в виде граненых холмов;

- прочитаны тексты на древних обелисках и пирамидионах и выявлены утверждение представителей древних цивилизации об активации пьезосодержащие кристаллов силой мысли;

- указаны несколько необходимых резонансов в кристалле;

- раскрыты тайны нетленности Хамбо-ламы Итигэлова, основанные на комплексе подготовительных свойств, химических и резонансных;

- показана история развития пси-технологий, способы воздействия, физика процесса, величины сигналов; представлены собственные наработки автора по связи с технологиями древних цивилизаций, дана собственная расшифровка древних текстов по передаче мыслей и их усиления, показаны возможности передачи мыслей на расстояние, решения по излучению ультразвука и электромагнитных волн человеком;

- раскрывается механизм телепатии в зоне видимости и вокруг Земли, указываются условия связи только с нужным человеком; показаны способы формирования звуковых, ультразвуковых, электромагнитных волн выше порога телепатии, связь с информационным полем для категорий людей.

**Автор, Александр Матанцев, решил познакомить**



# **читателей со своими книгами по тайнам мироздания и технологиям древних цивилизаций:**

«Древние пирамиды – ключ к познанию мироздания» [1];

«Древние пирамиды – ключ к подавлению катастроф» [2];

«Крымские курганы и дольмены – таинственное назначение» [3];

«Тайны подавления землетрясений и катастроф. Справочник [4];

«Тайны статуй на острове Пасхи» [5];

«Тайны сейдов – мегалитических сооружений» [6];

«Новое о менгирах, кромлехах и Стоунхендже» [7];

«Тайны мироздания» [8];

«Тайны человечества. Юмористические истории» [9];

«Календари на Руси» [10];

«Календари и кодексы майя» [11];

«Раскрыта тайна календаря катастроф Тиуанако, сравнение с календарями росссов и майя» [12];

«Древние календари: на Руси, майя, Тиуанако, древнеегипетские, древнекитайские и другие – источники знаний» [13];

«Комплекс Тиуанако: для защиты от врагов и катастроф, для обработки руд, для лечения, как обсерватория и календарь» [14];

«Раскрыта тайна парения человека в воздухе» [15];

«Основы левитации, полёты человека и камней в воздухе [16];

«Левитация, или полеты камней и мегалитов в воздухе [17].

«Открыт новый способ левитации камней и мегалитов в Тиуанако и Ольянтайтамбо» [18];

«Примеры и схемы левитации» [19];

«Как удалось найти замурованные блоки левитации» [20].

«Как раскрыт календарь Тиуанако и вычислены орбиты планет, трех Лун и спутников Венеры» [21].

«Любовь кошек к каменным нишам помогла раскрыть их свойства для лечения, защиты и левитации» [22];

«Как удалось раскрыть тайну четырехпалых пришельцев» [23].

«Тайна изображения летающих пришельцев и Богов» [24];

«Тайна щита короля инков Пачакути и щитов воинов инков» [25];

«Тайная сила войска Александра Македонского» [26];

«Тайна фараонов Египта» [27].

«Подсказки древних цивилизаций» [28].

«Технологии древних цивилизаций: полигональная кладка и размягчение камней» [29].

«Катастрофы планет, роль Венеры и влияние на Землю» [30].

«Раскрыты через кодексы: колонизации и войны на Венере, Земле, Марсе, и других планетах и спутниках» [31].

«Пирамиды в России и их отличие» [32].

«Человекообразные мегалиты, похожие на истуканов острова Пасхи, в Якутии, Сибири, на Урале [33].

«Технологии древних цивилизаций: этапы создания мегалитов. Справочник» [34].

«Технологии древних цивилизаций: пирамиды с вогнутым профилем, линейным фокусом и каменным отражателем» [35].

«Технологии древних цивилизаций: многопиковые пирамиды» [36].

«Технологии древних цивилизаций: многослойные пирамиды» [37].

«Технологии древних цивилизаций: пирамиды в виде грабленых холмов» [38].

«Технологии древних цивилизаций: мощные кристаллы для энергетики» [39].

«Технологии древних цивилизаций: активация кристаллов полем Посвященных» [40].

«Раскрыта тайна нетленности Хамбо-ламы Итигэлова, связанная с технологиями древних цивилизаций» [41].

«Психотроника – управление сознанием, сравнение с технологиями древних цивилизаций» [42].

«Телепатия сегодня и по технологиям древних цивилизаций» [43].

**Многие указанные процессы даны впервые и являются приоритетом автора.**

# Подсказки по артефактам

**Древние цивилизации дают нам подсказки.** Автор, Александр Матанцев, в своей книге [28] впервые показал подсказки: по календарю Тиуанако и катастрофам; по четырехпалым людям; по Дендерскому Зодиаку; по щиту короля инков, по шлемам Александра Македонского, устройствам левитации. Автор выявил, что подсказки представлены в виде загадок только для подготовленных в техническом плане потомков, но имеется заговор по уничтожению важных древних технологий. Ему удалось расшифровать ряд подсказок по пирамидам, Сфинксу, виманам, фараонам Египта, статуям на острове Пасхи.

Ученые всех стран пытаются открыть загадки истории. Кто построил пирамиду Хеопса? Как возводились многотонные мегалитические сооружения и пирамиды? Кто создал календари майя и Тиуанако? Почему календарь Руси начался более семи тысяч лет назад? Кто изображен на артефактах Мексики, где показаны пришельцы с миндалевидными глазами и космические аппараты? Откуда взялись космические аппараты и самолеты, изображенные в индийских виманах? Таких загадок очень много.

Ученые пытаются понять и повторить технологии древних цивилизаций. Каким образом передвигали по воздуху мегалиты? Как могли построить полигональную кладку с размяг-

чением камня? Почему раньше могли подавлять землетрясения? Как осуществляли телепатию? Кто придумал возможность лечения ультразвуком? Каким образом достигали других планет и других планетных систем?

Самое же главное, **кто они, представители древней цивилизации**, которые подарили нашему поколению огромные возможности и знания? Эти знания открываются постепенно по крупицам.

**Сначала автор столкнулся с подсказками по теме левитации или перемещению по воздуху мегалитов.** Ему удалось выявить взаимно-перпендикулярные ниши, которые использовались в процессе левитации (см. книгу [18]). Он долго искал и, вдруг, нашел неожиданную подсказку. В книге Эфраима Скуайера 1877 года выпуска имеется картинка двух колонн, на которых нарисованы эти взаимно-перпендикулярные ниши и **дана подсказка** в виде летающей куклы и летящей лягушки! Автор долго искал эти колонны, но они за прошедшее время исчезли, а, может, кто-то помог, чтобы они исчезли! Сам факт наличия подсказки поразил.

Следующий раз он столкнулся с подсказкой древних цивилизаций о пирамидах. Что было на макушке пирамиды Хеопса? Пирамида Хеопса волнует всех ученых, так как это единственное чудо света, которое осталось на нашей планете сохранившимся. И опять неожиданно, автор в музеях Каира увидел маленькую пирамидку, на которой возле макушки был нарисован кристалл, или пирамидион. А кто же сделал

эту пирамидку? В музее не знают. Ответ один. Она найдена при раскопках около 200 лет назад! А сколько ей лет? Неизвестно!

**Изучая богов и фараонов Египта, автор окунулся в мир подсказок! Они имеются по каждой особенности богов и их принадлежностей.** Это что за кольцо с намоткой в волосах богини Хатхор? Так это не кольцо, а украшение! Не может быть, а почему точно такое же кольцо с намоткой показано на нижней части жезла? Опять вопросы! Но, Боже мой! А вот вам и подсказка, да не одна, а несколько! Точно такое же кольцо показано отдельно на фресках храмов Египта в когтях птицы и отдельно! Вот так дела! Древние создатели фресок дали нам подсказки! Автор был заинтригован и ошарашен одновременно! Это кольцо, одновременно и для украшений, и для волновой и частотной настройки! Вот вам и проявление многофункциональности на практике!

Для чего у богов и фараонов такие большие круглые короны, типа шара на голове? Ищем в литературе, о Египте так много написано! Вот, нашел, неоднократно высказывается мысль о приёме и излучению низкочастотных волн. А это что такое? Автор нашел сразу три подсказки. Опять же, во фресках нарисованы объемные короны типа шаров и рядом – тело с обозначением чакр. Судорожно начинаем считать количество чакр. Их оказалось 22! А сколько в Индии? Кажется, девять! А почему такая разница? Так чакры бывают основные и дополнительные. В египетской фреске даны все или

большинство!

После этого случая, автор встречал еще подсказки во многих областях, касающихся тайн мироздания и тайн человечества. **Автор убедился, что подсказки даны по каждой теме!!! Только нужно хорошо искать! Волна эйфории накрыла автора.** Он стал искать, но по многим вопросам не нашел. Что это, почему? Но потом ответил сам себе после того, как исследовал в своих книгах [1 -43] много сторон по тайнам мироздания. Он впервые обнаружил, что взаимно-перпендикулярные ниши для левитации в Ольянтайтамбо были замурованы. А кто это сделал? Ответа нет! А кто придумал эти ниши для левитации? Опять вопрос без ответа!

**Так, может, это представители древних цивилизаций?** А откуда они взялись? На этот вопрос есть масса ответов, вернее, предположений! А необходимые и редкие артефакты продолжают исчезать. При исследовании пирамид Гизы, автору удалось определить, когда они прекратили своё полномасштабное функционирование. Исследования, проведенные автором по древним календарям в разных странах, показали, что в этот период много заимствовалось из древних цивилизаций, о которых мы знаем очень мало. Разрушение, обычно преднамеренное, культур древних цивилизаций произошло уже в нашей эре, в XV – XVII веках. Автор в предыдущих книгах [1, 2] построил карты с пирамидами Египта и очагами землетрясений. Выводы, которые следуют

из данного исследования:

- можно уверенно утверждать, что в период после 1500 – 1750 годов большие египетские пирамиды утратили свою былую силу;

- радиус возможного воздействия больших пирамид в период до нашей эры и в нашу эру до 1500 года, на большие землетрясения составляет от 450 км и более,

- в древнее время, в период до нашей эры и в нашу эру до 1500 года, пирамиды могли воздействовать так, что большие землетрясения становились малыми на расстоянии до 250 км.

Главное, по картам четко видно, что влияние больших пирамид на землетрясения было и оно значительно. Полученные результаты подтверждаются исторически достоверными сведениями о состоянии Великой пирамиды в Гизе.

Затем в СМИ стали писать о Сфинксе и его возрасте. Ученые нашли эрозию на скульптуре Сфинкса. А откуда она взялась? От водных потоков? А когда здесь были водные потоки на высоком уровне? Когда климат был другим, около 10 тысяч лет назад! Так Сфинкс такой древний? Ура! Но кричать пришлось недолго. Некие силы, относящиеся к официальным структурам, замазали цементом места эрозии. Всё! Никакой эрозии нет и Сфинксу не более 3-х тысяч лет!

После всего этого, автор решил обобщить все примеры по подсказкам. Более того, он пришел к выводу, что подсказки были обязательно по всем таинственным вопросам и тех-



нологиям. И, если их нет, то нужно искать того, то их уничтожил или спрятал.

Волна эйфории ушла, остался тяжелый труд исследователя, который по крупицам собирал информацию.

Последней каплей, которая перевесила и заставила автора написать книгу, было обнаружение нескольких подсказок по назначению экипировки и оснащения египетских фараонов. А кто же сделал эти подсказки? Представители древней цивилизации!

Что заставило автора создать много авторских свидетельств и патентов по новым направлениям в технике? То же самое, что заставляет его сейчас писать эту книгу. Это неизбежность развития и движения вперед по направлениям, по которым больше всего вопросов!

# Примеры подсказок по пирамидам из артефактов Египта и Мексики

Итак, автор приступает к раскрытию подсказок по энергетике пирамид из артефактов древнего Египта и Мексики.



Рис. 1. Пирамидион, 7 век [51]

Автор, Александр Матанцев, сделал перевод древ-

**неегипетских иероглифов и нарисованных фигур.**

**Пример 1, рис. 1.** Содержание: «Человек (оператор) своим полем воздействует (активирует) пирамиду (или кристалл). На пирамиду воздействуют лучи с неба (космическое излучение) и излучение Солнца, наиболее сильное в зените».



Рис. 2. Камень Бенбен [52]

**Пример 2, рис. 2.** Содержание: «Двое людей (Посвященные) своим полем воздействует (активирует) джед с четырьмя пластинами. В свою очередь, джед активирует большую»

пирамиду (или кристалл). На пирамиду воздействует излучение Солнца, наиболее сильное в зените».

Камень Бенбен был назван в честь первичного холма. Он был священным камнем в храме солнца в Гелиополе. Он был местом, на которое упали первые лучи Солнца. Считается, что он был прообразом обелисков и пирамидионов четырёхгранных пирамид. Также считается, что верхушки обелисков и пирамидионы пирамид были позолоченными.

Проявлением многофункциональности является изображение у самой макушки шара, который, к тому же является излучателем – кристаллом. О кристаллах имеется много легенд.

**Пирамиды и обелиски своими формами похожи на кристаллы, а кристаллы – имеют форму пирамид и обелисков!** Особенно много внимания уделяется кристаллам в книгах, посвященных легендарной стране Атлантиде. Вот несколько выдержек из некоторых книг. Патрисия Кори в своей книге «Атлантида. «Битва света и тьмы» описала свои воспоминания об одной из прошлых жизней, когда она являлась жрицей в Атлантиде. Патрисия называет себя «Хранительницей кристаллов» и рассказывает, что атланты получили знания о многомерности кристаллов, **их свойств усиливать и преобразовывать энергию от цивилизации Арктура и Сириуса, и вся технология Атлантиды была основана на использовании кристаллов и камней.**

Чтения Эдгара Кейси, в которых обыгрывалась тема Атлантиды, представлены и отчасти обсуждены в превосходной книге Э. Кейси «Эдгар Кейси об Атлантиде». Согласно первоисточникам, центральное место в «чтениях» про Атлантиду занимали рассказы о некоем **кристалле, созданном руками атлантов**. В состоянии глубокого гипнотического транса Кейси вещал: **«Атланты открыли секрет концентрации солнечной энергии с помощью кристалла с особыми свойствами»**.

Большинство авторов упоминающих в своих книгах Атлантиду, так или иначе связывают народ этого затонувшего острова с кристаллами, которые они после катаклизма якобы перевезли в Египет.

**Пирамидион – камень пирамидальной формы, обычно устанавливавшийся на вершине египетской пирамиды**. В египетском языке назывался «Бенбенет» и ассоциировался со священным холмом Бенбен.

**Пример 3.** Из текста, указанного внутри рисунка пирамидиона камня Бенбен (из рис. 2). Этот внутренний текст показан на рис. 3.



Рис. 3. Внутренняя часть текста на камне Бенбен. Обозначения автора, Александра Матанцева

Перевод сделал автор, Александр Матанцев с использованием многочисленных таблиц переводов из литературы [44 – 49].

Обозначения на рис. 28А. 1 – Солнце [44], 2 – из [46], 3 – радость [45], 4 – змея, благополучие [44], 5 – из [44], 6 – зенит [46], 7 – дом [44, 45], 8 – взойдет [45], 9- взойдет [45], 10 – у вас, небо, небеса [45, 46], 11 – Health Ufo & Happiness – Здоровье, НЛО и счастье [47].

Низшая часть неразборчива и даже искажена. Примерный

текст, который следует из верхней части от 1 до 11 иероглифа: «Посвященные воздействуют своим полем. Солнце воздействует на пирамиду. От пирамиды возникает воздействие, которое приносит радость и благополучие. Наибольшее воздействие, когда Солнце в зените. Воздействие от пирамиды доходит до дома. Это приносит здоровье и счастье».





Рис. 4. Пирамидион [57]

**Пример 4, рис. 4.** Содержание: «Человек (оператор) сво-

им энергетическим полем воздействует (активирует) кристалл или материал пирамиды (пьезоматериал с кварцем). На пирамиду сверху воздействует излучение Солнца. Снизу Солнца **изображен знак затвора**, следовательно, в нужное время, например, вечером и ночью открывается другой канал поступления энергии, из Земли и через воду. За всем этим необходимо зорко наблюдать или следить (показаны два глаза)».



Рис. 5. Пирамидион [53]

**Пример 5, рис. 5.** Содержание: человек (оператор слева) своим энергетическим полем воздействует (активирует) посох (с кристаллом внутри), расположенный в руках Бога или фараона. В свою очередь, этим посохом производится активация всей пирамиды (или же большого кристалла). На пи-

рамиду сверху воздействует излучение Солнца. Наибольшее воздействие, когда Солнце в зените. Ниже Солнца показан знак анха, являющийся признаком благополучия. Таким образом, описана жизненная благополучная ситуация с гармоническим развитием.



Рис. 6. Мексика, майя, НЛО [58]

**Пример 6, рис. 6.** Маленькие пирамидки – статуэтки изготавливались не только в древнем Египте, но и в Мексике, у народностей майя. В этом случае, могли нарисовать пришельцев и НЛО, а сама форма пирамиды является **подсказкой по возможности запитки космических аппаратов от пирамид – рис. 6.**



Рис. 7. Пирамидион [54]

**Пример 7, рис. 7.** Содержание: «Снизу показаны существа, своим энергетическим полем воздействующие на кристалл или на пирамидион. Выше изображено Солнце, как источник энергии и жук – символ богатства и счастья. Энерги-

ей пирамиды с кристаллом управляются корабли и лодки».

В джунглях Эквадора археолог Элиас Сотомайер нашел пещеру с 90-метровым туннелем, в ней были найдены светящиеся в темноте каменные артефакты. Предметы были сделаны, предположительно, по мнению Сотомайера, 17 тысяч лет назад и могли принадлежать представителям древних исчезнувших цивилизаций.

**Пример 8, рис. 8.** По мнению других ученых и гипотезе автора, изложенной в книге [1], пирамида Хеопса построена сразу же после Великого Потопа, произошедшего 12,5 тысяч лет назад. В основании пирамиды найдены остатки другой, более старой пирамиды. Таким образом, пирамидка, показанная на рис. 8, найденная в пещере, могла быть более древней версией пирамиды Хеопса. Если же возраст в 17 тысяч лет завышенный, то, на самом деле, не превышающим 12,5 тысяч лет, то это могла быть изображена пирамида Хеопса в те давние времена.



Рис. 8. Светящийся артефакт, найденный в пещере [55]

Все найденные артефакты пещеры, в том числе и пирамида на рис. 8, имеют рисунок, который светится в темноте. Находки излучают свечение голубоватого цвета. Ученые установили, что символы на находках могут датироваться эпохой раннего санскрита, но к местной культуре они отношения не имеют.

На этой, небольшой 21-сантиметровой пирамиде изображен человеческий глаз, что у конспирологов вызвало ассоциации с иллюминатами. Кроме того, **этот глаз – подобие**

**Глаза Гора, который, как показано в предыдущем разделе, связан с мозжечком и способностью к телепатии.** Этот же глаз является иероглифом Солнца. Таким образом, этот артефакт на рис. 8 подчеркивает влияние Солнца на работу пирамиды. Здесь показано 13 слоев в пирамиде, что не соответствует ныне имеющимся. Поэтому этот факт в пользу более ранних пирамид.

В Египте найден артефакт, у которого на голове изображен символ «человеческого духа» или сознания – рис. 9.

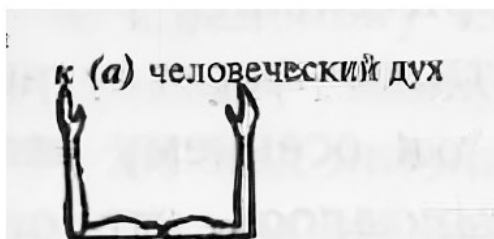


Рис. 9. Древнеегипетский иероглиф, означающий «человеческий дух» или «сознание» [49]

Древнеегипетский иероглиф с двумя руками, поднятыми вверх, расшифрован давно учеными [49]. Этот иероглиф или рисунок означает «человеческий дух» или «сознание».

Теперь зададимся вопросом: «А почему человеческий дух у древних египтян выражался изображением двух поднятых



кверху рук или изображался двумя руками, как бы отталкивающими от себя в сторону, вверх или вниз?» Таких изображений на артефактах огромное количество, следовательно, речь может идти о событии очевидном и обыденном. Ответ только один: ученые пишут о том, что жители Атлантиды и **Гипербореи обладали телекинезом, телепатией и способностью передавать мысли на расстояние**. Следовательно, этот иероглиф для жителей Атлантиды и Гипербореи означал **передачу мысли** или мысленной энергии на расстояние.

Автор этой книги обращает внимание читателей на то, что перевод этого иероглифа сделан давно и подтвержден многими учеными и исследователями. Отсюда получается **прямая связь между руками и передачей мысли**. Логика здесь простая: иероглиф «человеческий дух» изображен в виде двух поднятых рук, следовательно, представители древней цивилизации знали о том, что руки излучали в таком положении ауру или энергию.

**Пример 9, рис. 10.** Этот иероглиф в виде реальных рук введен в артефакт Египта на рис. 10.



Рис. 10. Статуя Ка – жизненны силы царя Ауибра Хора.  
Каир, Египетский музей [56]

Рис. 10. Статуя. Ка – жизненные силы – царя Ауибра Хо-  
ра.  
Кедр, инкрустации, золото. 18 в. до н.э.

Это – **Ка** («двойник») – это жизненная энергия [56] (*способность совершать действия, здоровье, благополучие*), которую создал бог Хнум; то, что отличает живое от мертвого. Уходит из тела. Ка и тело становится мертвым. Однако, выйдя из тела, Ка его не покидает, но остается рядом, Боги и фараоны имели несколько Ка. Ба («душа», «жизненная сила») – сознание человека, личность, психика, душа; то, что дает индивидуальность. Изначально «Ба» было присуще только фараонам и божествам, однако в Среднем царстве «Ба» приписывается каждому человеку и даже поселению. Ба при жизни тела путешествовала по миру сновидений. Могла свободно перемещаться между миром мертвых и живых. Индивидуальность-Ба также **могла переселяться в другие тела** по желанию своего хозяина. После смерти (выхода его Ка), Ба тоже должно быть освобождено от тела путем специальных ритуалов.

**Какой смысл заложен здесь:** «Цари, фараоны, Боги или Посвященные во времена создания артефактов обладали таким полем, что это поле или излучение могло воздействовать на окружающих людей, жезлы, кристаллы и даже пирамиды».

**Дополнение делает автор, Александр Матанцев.**

**Дополнение 1.** Эзотерики и ученые пишут о том, что остатки атлантов переселились не только в Египет, но и в Месопотамию, где поселились шумеры.

**Дополнение 2.** На стелах древнего Египта чаще изображался не бог Ра, а **бог Солнца Атон**. Египетский бог Атон – это божество солнечного диска, которого представляли в виде ладоней, тянущихся к земле и богам и людям. Посмотрите на рис. 11 – рис. 12, отличие состоит в том, что Бог Атон изображается с кругом Солнца, от которого лучи в виде множества рук, направляются непосредственно на жителей.



Рис. 11. Бог Солнца Атон в Египте [63]

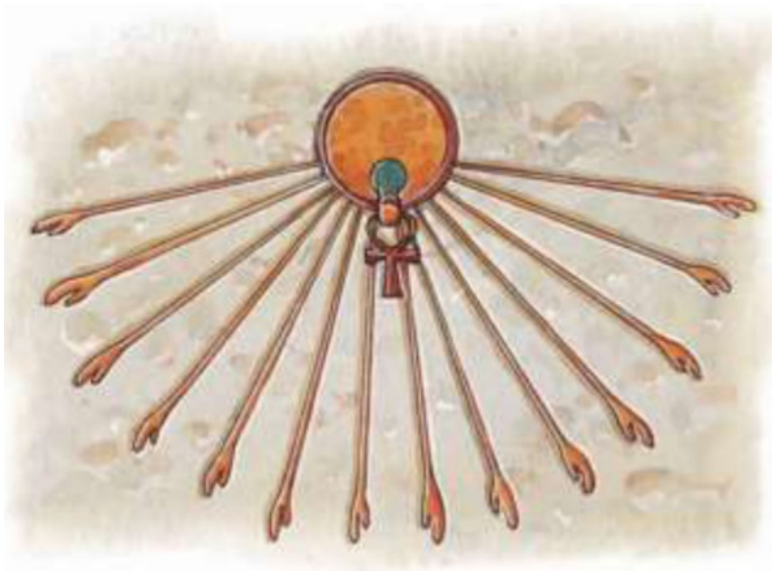


Рис. 12. Бог Солнца Атон [63]

**Пример 10, рис. 13.**



Рис. 13. Папирус Египта [59]

Интересное изображение показано на папирусе – рис 13. Здесь показан Бог Атон в виде диска Солнца с тянущимися руками как к пирамидам, так и к Сфинксу. Это свидетельствует о том, **что не только пирамиды, но и Сфинкс принимал участие в улавливании, формировании и передаче энергии.**

**Пример 11, рис. 14.** Еще один древний папирус показан на рис. 14. **Интересна общая композиция.** Сверху справа над пирамидами и Сфинксом летит птица, **в когтях ко-**

**торой – символ вечности.** Это сделано для нас, будущих поколений. Представители древних цивилизаций дают нам подсказку **о времени действия пирамид и Сфинкса.** Интересно и необычное шашечное покрытие пирамиды. С левой стороны показано Солнце, как источник энергии. Всего здесь три профиля пирамид: малого размера, побольше и совсем большого. Это еще одна нам **подсказка: все пирамиды Гизы, и большие, и малые, запитывались от солнечного излучения.** Напротив лица Сфинкса расположены трое богинь. У одной в руках – сосуды, у другой в руках – цветы, у третьей – жезл уас. Всё это свидетельствует о воздействии от Сфинкса как на состояние природы и загрязнение атмосферы, так влияние на природу и на управление действием жезлов типа уазов, анхов и других.



Рис. 14. Папирус Египта [60]

**Пример 12, рис. 15.** Очень интересный пирамидион показан на рис. 15.





Рис. 15. Пирамидион [61]

Это сувенир небольшого размера, снизу показаны деления в сантиметрах. Однако создан этот сувенир не на чистом месте, а на основе древних артефактов. В этом сувенире (рис. 15) показано не только воздействие Солнца на пирамиды и Сфинкса, но справа и слева внизу изображены обелиски с кружком на вершине похожим на кристалл. Эта подсказка по применению обелисков с целью передачи энергии от пи-

рамид и Сфинкса далее при помощи стелы, или обелисков с кристаллами. Здесь же изображен профиль дольмена – еще одного распространителя энергии от пирамиды.

**Пример 13, рис. 16.** Автор, Александр Матанцев расшифровал текст на пирамидионе, показанном на рис. 16.



Рис. 16. Пирамидион [90]

Автор прочитал по нескольким таблицам перевода древнеегипетских иероглифов [44 – 49] сначала отдельные иероглифы:

- 1 ряд сверху – Солнце, или кристалл,
- 2 ряд сверху – рыбы,
- 3 ряд сверху – дома, люди,
- 4 ряд сверху – птицы, корабли,
- 5 ряд сверху – вода, осадки, климат, змеи (успешность), злаки,
- 6 ряд сверху – животные, способность размножаться,

хлеб,

7 ряд сверху – зарождение, домашние животные, из, извне, насекомые, лягушки, личинки,

8 ряд сверху – ходить,

9 ряд сверху – способность создавать

10 ряд сверху – растения, вода, погода

Теперь соединим это все по смыслу. Получается следующее: «Пирамида (с кристаллом наверху) и влиянием Солнца приводит к существованию и развитию жизни насекомых, личинок, рыб, лягушек, птиц, змей, животных, домашнего скота, людей, на возможность ходить и способность размножаться, на успешность роста растений, злаков, влияет на дома, корабли, влагу, дожди и погоду».

Аналогичный пример, когда имеется только 7 рядов и снизу дано изображение трех пирамид Гизы и Сфинкса.

**Теперь автор делает перевод иероглифов на древнеегипетских стелах, где присутствует такой иероглиф с двумя понятыми руками кверху.**



Рис. 17. Древнеегипетская стела [50]



Рис. 18. Древнеегипетская стела [50]



Рис. 19. Древнеегипетская стела [260]

**Пример 14, рис. 17, рис. 18, рис. 19. Перевод древнеегипетских иероглифов сделал автор, Александр Матанцев.** Основное изображение – на рис. 17. Там всего 6 иероглифов. Автор перевел каждый из иероглифов и соединил их по смыслу.

По отдельности эти иероглифы переводятся так (сверху вниз):

- Солнце (свет, время),
- звук (или колебания);
- человеческий дух или сознание;

- возникновение (появление);
- еще Солнце;
- вода (потоки воды).

Вот что получилось.

**Основной вариант текста:** «Внешнее воздействие (активация) происходит за счет человеческого духа (телепатического излучения оператора), которое вызывает колебания в стеле (кристалле). Это приводит стелу (кристалл) в работоспособное состояние. Начинает накапливаться (энергия) от Солнца (солнечного излучения). Усвоение воздействия Солнца (солнечного излучения), зависит от воды или (поддерживаются водяными потоками)».

**Второй вариант текста.** Здесь иероглиф второго Солнца заменен на иероглиф в виде пера или левостороннего ножа, имеющий значения: перо – правда, или лететь, или колебаться. Таким образом **указывается на колебания массы пирамиды.**

Итак, **второй вариант текста:** «Внешнее воздействие (активация) происходит за счет человеческого духа (телепатического излучения оператора), которое вызывает колебания в стеле (кристалле). Это приводит стелу (кристалл) в работоспособное состояние. Начинает накапливаться (энергия) от Солнца (солнечного излучения). Колебания зависят от воды (или поддерживаются водяными потоками)».

Самое интересное в этих древнейших тестах, что **давным-давно знали о телепатическом воздействии че-**

**ловеческого духа** или, как говорят сейчас, знали об излучении человека или его ауры.

**Найдено много маленьких пирамид-статуэток (пирамидионов)**, созданных до нашей эры и в начале нашей эры. Первая идея, которую хотели донести до нас представители древних цивилизаций: эти пирамиды формируют и излучают энергию. Идея формирования энергии показана по наличию шара или шарообразной короны у макушки, значит, энергия распространялась вверх. Идея передачи энергии показана путем аналогии. Фигурки людей направляют ладонки рук от себя, как бы подталкивая наружу невидимую субстанцию- энергию. Кроме того, ладонки направлены к оси пирамиды, указывая путь формирования энергии. Дополнительно над головами нарисованы два анха кольцом кверху. Тем самым имеется еще одна подсказка **о возможности усиления и передаче мыслей человека**, находящегося в пирамиде.

**Пример 15, рис. 20. Разные материалы обелисков.**





## Рис. 20. Мраморные обелиски [66]

Следует отметить мраморные обелиски, показанные на рис. 20. Мрамор содержит другой основной пьезоматериал – не кварц, а кальцит. Автор показал в дальнейших разделах, что частота излучения ультразвука на кальците больше, чем на кварце. Кроме того, на этом рисунке показаны кусочки мрамора разного цвета. Это свидетельствует о разных примесях и **разных генерируемых частотах ультразвука**. Как результат, происходят разные воздействия на объекты или на живые существа.

**Пример 16. Рис. 21.** Теперь самое время обратиться к рисунку на камне Ики. Эта фотография кочует из книги в книгу. Сначала повторим этот снимок, а затем попробуем разобраться с ним.



Рис. 21. Изображение на камне Ики [62]

На камне Ики изображен **столб энергии, идущий от Солнца к пирамиде**. Еще имеются две стрелочки, идущие вверх. Эти стрелочки идут от вершины пирамиды. Таким образом показано излучение или влияние от пирамиды. Указаны четыре ступени пирамиды, причем две нижние ступени имеют одну широкую штриховку, а третья имеет другую только вертикальную штриховку. На этой, третьей ступени виден расширяющийся столб поля или излучения. Верхняя ступень обладает более мелкой штриховкой, и именно от неё вверх распространяется основная энергия пирамиды. Фигуры справа и слева дуют на Солнце. Таким образом, условно показано влияние на солнечное излучение и его гашение, или регулировка при необходимости.

Теперь вспомним о том, что такое камни Ики. В Википедии сказано, что коллекция камней Ики была собрана в окрестностях перуанского города Ика (в котором сейчас и хранится большая их часть), в связи с которым она и получила своё название. Там же сказано, что первоначально было найдено несколько действительно древних камней с рисунками. В дальнейшем они послужили образцами для изготовления **серий подделок**. Теперь проведем аналогию.

Правительство Перу **официально не подтверждает достоверность именно этого артефакта**, однако и не пишет о том, что это подделка. Дело в том, что возможна перерисовка этого изображения с более древних артефактов.

### **Пример 17. Надпись на пирамиде Хеопса, рис. 22.**

Надпись из четырех символов, или иероглифов обнаружена между двумя уступами у древнего входа в пирамиду Хеопса.

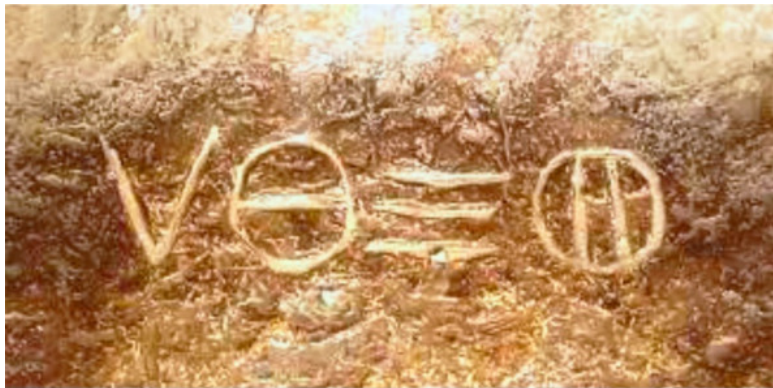


Рис. 22. Надпись на пирамиде Хеопса [147]

**Комментарий (от Vladimir Kovalsky):** «Идея о том, что пирамиды **транслировали инфразвук, не нова**. В Сети есть информация (статья Resonance in Paleo-Sanskrit Inscriptions on the Great Pyramid) о том, что эти символы – на самом деле надпись на палео-санскрите, которая была **расшифрована профессором Куртом Шильдманом (1915—2005)**, и которая в переводе означает буквально следующее: «От мужской силы, громяхая, к предоставлению женской».

Толкование же этой фразы заключается в том, что **через инфразвук (гром) возможно преобразование одного базового начала** (вида энергии, противоположности) в другой: «ян» в «инь», например, если рассматривать этот вопрос в плане биоэнергетики человека. Эта короткая

фраза содержит краткое объяснение основной функции инфразвуковых Великой пирамиды-**глобальная инфразвуковых синхронизации коллективного человеческого сознания**, тем самым наделив женской силы.

Учитывая в более простых терминах, сохранившихся среди китайских традиций биоэнергетической медицины, которые были бы более легко поняты в наши дни, фраза по существу гласит: «от Ян, гром, предоставление Инь». **Инь-это женская или материнская энергия, связанная с естественным процессом биоритмической синхронизации между матерью и ребенком в период беременности.**

В литературе [147] указано, что четыре «буквы» этой тетраграммы на входе в Великую пирамиду каким-то образом связаны с классической концепцией четырех элементов (**земля, воздух, огонь и вода**) или свойств (влажное, сухое, горячее и холодное) или концепцией о том, что природа, мудрость и наука покоятся на четырех принципах: Молчании, Глубине, Разуме и Истине (Холл, 2003).

# **Автор, Александр Матанцев, дает точную расшифровку надписи на пирамиде Хеопса**

**Автор, Александр Матанцев, сделал точную расшифровку этой надписи (рис. 22). Сравнивая древние иероглифы разных стран и народностей, в том числе, египетских, майя и других, автор обнаружил точное совпадение с китайскими иероглифами одной, строго определенной династии и определил возраст этой надписи.**

**Все четыре иероглифа (рис. 22) взяты из древней китайской письменности династии Чжоу. Автор нашел точную расшифровку всех четырех символов. Читаем:**

**1 символ, или иероглиф, похожий на букву «V» по расшифровке древних китайских иероглифов [150] означает «Земля»,**

**2 символ, или черточка в окружности, по расшифровке [151] означает «Солнце»,**

**4 символ, или две полосы в кружочке или овале по расшифровке [152] означают «глаза», или «внимательно наблюдать», или «следить».**

**3 символ в виде трех плосок самый интересный и загадочный.**

**В «Полной энциклопедии символов» [153] эти три**

**параллельные полосы называются «триграммой».** Триграммы – тройное сочетание непрерывных (ян) и прерывистых (инь) линий. Их восемь, и они легли в основу великой китайской книги предсказаний «Книга перемен» («И-Цзин»). Триграммы символизируют даосскую доктрину, **что космос основан на постоянных потоках дополняющих друг друга сил:** мужской (активной, ян) и женской (пассивной, инь).

Книга Перемен или «И Цзин» – сборник наиболее ранних китайских философских текстов. В литературе [154] указывается ранний слой, традиционно датируемый около 700 г. до. н. э. Существующая система Книги сложилась в основном в эпоху Чжоу и, в отличие от систем более ранних времен, она называется **«Чжоуской Книгой Перемен».**

«Книга Перемен» – выдающийся памятник китайской и общемировой культуры и философской мысли [155]. Более полувека тому назад «Книга Перемен» была переведена на русский язык и исследована блестящим востоковедом, ученым и поэтом Ю. К. Щуцким (1897—1938). Его труд «Китайская классическая «Книга Перемен»», изданный в 1960 г., стал классикой отечественного востоковедения. «Книга Перемен» («И Цзин», другое название «Чжоу и»), относится к числу величайших и одновременно **наиболее загадочных творений человека.** С точки зрения породившей его китайской культуры (древнейшей из ныне продолжающих свое существование на Земле) книга представ-




ляет собой нечто еще более значительное – творение Сверхчеловека, запечатлевшего в особых символах и знаках **тайну мироздания**. Практически сразу после опубликования «Китайская классическая «Книга Перемен», она была признана классикой отечественного китаеведения. Крупнейший отечественный синолог академик В. М. Алексеев (1881—1951) писал: «Книга Перемен» («И Цзин») есть книга книг, дающая углубленному в нее уму и силу, и содержание, но никаким умом не исчерпываемая».

Загадочно само название «Чжоу и». Каждый из двух составляющих его иероглифов может быть понят по крайней мере двояко. Чжоу – это, во-первых, имя династии, правившей в Китае **с конца II тысячелетия до н.э. по середину III в. до н.э.**, и хронологическое обозначение данной эпохи; во-вторых, слово, имеющее значения «оборот, круг, цикл, везде, повсюду, полный, исчерпывающий».

Все 8 триграмм из «Книги Перемен» показаны в табл. 1.

Таблица 1. Триграммы из китайской древней «Книги Перемен» [154, 155]

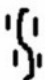










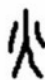













	Образ	В семье	В организме	Животное	Качество	Действие	Стихия
	Небо	Отец	Голова	Лошадь	Сила	Помощники	Янь Металл
	Озеро	Младшая дочь	Рот	Овца	Удовольствие	Дети	Инь Металл
	Огонь	Средняя дочь	Глаз	Фазан	Прилипание	Слава	Инь Огонь
	Гром	Старший сын	Ступня	Дракон	Встряхивание	Семья	Янь Дерево
	Ветер	Старшая дочь	Бедро	Петух	Мягкость	Богатство	Инь Дерево
	Вода	Средний сын	Ухо	Ястреб	Бездонность	Карьера	Янь Вода
	Гора	Младший сын	Рука	Собака	Неподвижность	Знание	Янь Земля
	Земля	Мать	Живот	Корова	Восприимчивость	Взаимоотношения	Инь Земля

Как видно из табл. 1, непрерывные три параллельные линии обозначают первую триграмму, обозначающие образ «Небо», качество – «Сила», и стихию – «Янь Металл». Иногда в литературе уточняют, что металл красновато-желтый или золотистый.

Теперь соединим обозначения всех четырех символов или иероглифов на рис. 22. Вот что получается: **«Взаимодействуют постоянно дополняющие друг друга силы Земли и силы Солнца. Для этого процесса необходим постоянный контроль или наблюдение»**. Кроме того, так как указана первая триграмма из табл. 1, то **можно дополнить о возможности получения металла, например, золота.**

Время создания надписи можно найти из характера китайских иероглифов. В литературе [156] даны обозначения Солнца в разные эпохи Китая – табл. 2.

Таблица 2. Китайские иероглифы в разные эпохи [156]

вода	огонь	солнце	луна	баран	эпоха
					ИНЬ, 2тыс лет до н. э.
					ЧЖОУ, 1тыс лет до н. э.
					ХАНЬ, Швек до н.э. -Швек н.э.
					
					ЦЗИНЬ, IV в.

По табл. 2 наблюдаем за изменением написания иероглифа «Солнце». В раннюю эпоху Инь (2 тыс. лет до н.э.) – это точка в кружочке, в позднюю эпоху «Цзинь» (IV век) – это полоска в прямоугольнике. Изображенный иероглиф «Солнце» на пирамиде Хеопса (рис. 22) в виде полоски в окружности соответствует эпохе «Чжоу», которая бы-

ла в 1 тысячелетии до н. э. Следует отметить, что это возможная дата надписи, а содержание могло быть взято из самых древних и таинственных источников.

### **Пример 18. Кодекс Мальябекиано, майя.**

**Описание сюжета – рис. 22А.** Качество этого рисунка хорошее, поэтому все события можно определить четко. На пирамиде (мексиканской) сидит Бог «пятой планеты» и вместе с ним представители пяти его спутников. Пятая планета в Кодексе Мальябекиано – это блуждающая планета типа Тифона. Признак спутников у майя – флажок. Флажков пять. Этот Бог ждёт жертвоприношений. У людей красными пятнами обозначены органы, которые взяли при жертвоприношении. По-видимому, прилетевшие с пятой планеты запитывали свои НЛО от пирамиды. Пирамида нарисована, похожая на пирамиду в Теотиуакане. В основании пирамиды есть атрибуты с двумя, тремя и четырьмя деталями – это признаки того, **что от пирамиды запитывались корабли землян, венерианцев и марсиан.**

Костер и огонь, изображённый на двух пластинах, т.е. на Венере спускается вниз, где показаны три двойные черточки. Сдвоенные черточки – признак Венеры три – признак Земли. Получается, что огонь, или война, перенесены с Венеры на Землю.

Среди фигур показаны: венерианцы (с двумя хохолками) и земляне. Что получается в итоге: пятая планета повлияла на Землю и Венеру. С Венеры спустили воинов на Землю.

**Пирамиды в Мексике были нужны для запитки НЛО  
землян, венерианцев и марсиан!!!**



Рис. 22А. Кодекс Мальябекиано, майя, страница 79 [328]

**Выводы по примерам подсказок с пирамидами  
по артефактам Египта, Мексики и Перу**

**Итак выводы, которые следуют из найденных старинных артефактов Египта, Мексики, Перу и Китая:**

- пирамиды направленно излучают энергию;
- иероглиф с двумя поднятыми кверху руками означает

«человеческий дух» или «сознание», этот иероглиф не случайно изображен с руками, направленными кверху, это означает, что **сознание или мысль поступают в информационное поле;**

– человеческий дух (поле) может активировать пирамиду, ваджру, уаз, кристалл;

– **пирамиды усиливают мысли человека** и передают их на расстояние;

– на макушке пирамиды устанавливались кристаллы;

– энергией пирамид могли запитываться космические аппараты;

– энергия концентрировалась по оси пирамиды и амплитуда волн усиливалась от основания к макушке;

– **форма пирамиды аналогична форме кристалла;**

– на пирамиду воздействуют лучи с неба (космическое излучение) и излучение Солнца, наиболее сильное в зените;

– воздействие от пирамиды доходит до дома, это приносит здоровье и счастье;

– снизу Солнца изображен знак затвора, следовательно, в нужное время, например, вечером и ночью открывается другой канал поступления энергии, **из Земли и через воду**, за всем этим необходимо зорко наблюдать или следить (показаны два глаза);

– ниже Солнца показан знак анха, являющийся признаком благополучия, таким образом, описана жизненная благополучная ситуация с гармоническим развитием;

– сама форма пирамиды является **подсказкой по возможности запитки космических аппаратов от пирамид;**

– энергией пирамиды с кристаллом управляются корабли и лодки;

– подчеркивает влияние Солнца на работу пирамиды, показано 13 слоев в пирамиде, что не соответствует ныне имеющимся, поэтому этот факт в пользу более ранних пирамид;

– жители Атлантиды и Гипербореи обладали телекинезом, телепатией и способностью передавать мысли на расстояние, показан иероглиф для жителей Атлантиды и Гипербореи, который означал **передачу мысли** или мысленной энергии на расстояние;

– **прямая связь между руками и передачей мысли**, логика здесь простая: иероглиф «человеческий дух» изображен в виде двух поднятых рук, следовательно, представители древней цивилизации знали о том, что руки излучали в таком положении ауру или энергию;

– цари, фараоны, Боги или Посвященные во времена создания артефактов обладали таким полем, что это поле или излучение могло воздействовать на окружающих людей, жезлы, кристаллы и даже пирамиды;

– не только пирамиды, но и Сфинкс принимал участие в улавливании, формировании и передаче энергии;

– над пирамидами и Сфинксом летит птица, **в когтях которой – символ вечности**, это сделано для нас, будущих

поколений, представители древних цивилизаций дают нам подсказку **о времени действия пирамид и Сфинкса**;

– все пирамиды Гизы, и большие, и малые, запитывались от солнечного излучения; напротив лица Сфинкса расположены трое богинь: у одной в руках – сосуды, у другой в руках – цветы, у третьей – жезл уас; всё это свидетельствует о воздействии от Сфинкса как **на состояние природы и загрязнение атмосферы**, так влияние на природу и на управление действием жезлов типа уазов, анхов и других;

– подсказка по применению **обелисков** с целью передачи энергии от пирамид и Сфинкса далее при помощи стелы, или обелисков с кристаллами; здесь же изображен профиль **дольмена** – еще одного распространителя энергии от пирамиды;

– пирамида (с кристаллом наверху) и влиянием Солнца приводит к существованию и развитию жизни насекомых, личинок, рыб, лягушек, птиц, змей, животных, домашнего скота, людей, на возможность ходить и способность размножаться, на успешность роста растений, злаков, влияет на дома, корабли, влагу, дожди и погоду;

– усвоение воздействия Солнца (солнечного излучения), зависит от воды или (поддерживаются водяными потоками);

– иероглиф второго Солнца заменен на иероглиф в виде пера или левостороннего ножа, имеющий значения: перо – правда, или лететь, или колебаться; таким образом, **указано**



## **на колебания массы пирамиды ;**

- колебания зависят от воды (или поддерживаются водянными потоками);
- **указывается на возможности усиления и передаче мыслей человека**, находящегося в пирамиде или в зоне влияния пирамиды;
- о разных примесях и **разных генерируемых частотах ультразвука** ; как результат, происходят разные воздействия на объекты или на живые существа;
- фигуры справа и слева дуют на Солнце, таким образом условно показано влияние на солнечное излучение и его гашение, или регулировка при необходимости;
- о взаимодействии сил Земли и Сил Солнца;
- о необходимости наблюдения и контроля над процессом взаимодействия сил Земли и сил Солнца в области пирамиды;
- о возможности получения (обогащения) металлов, например, золота,
- записка НЛЮ от пирамиды.

**Главное, в подсказках указаны источники энергии от пирамиды за счет влияния Солнца, Земли, Космоса, прямого или усиленного поля человека, влияние кристаллов, уазов, джедов, анхов, а также влияния водных потоков и паров воды. От пирамиды энергия распространялась через воду, или же через стены, дольмены, менгиры. Указано, что масса пирами-**

**ды в процессе работы колеблется (или вибрирует). Величина колебаний зависит от потока воды или пара.**

Таким образом, подсказки в артефактах Египта, Мексики и Перу объясняют многие версии по формированию энергии пирамидой. Эти версии были сделаны знаменитыми учеными, которые будут описаны в последующих главах.

# **Энергетика пирамид. Способы получения энергии**

## **Известные возобновляемые источники энергии**

Сначала рассмотрим известные традиционные источники возобновляемой энергии – табл. 3, табл. 4, табл. 5.

**Таблица 3. Традиционные мировые ресурсы возобновляемой энергии [91]**

Первичный вид энергии	Источник энергии	Мировые ресурсы $10^{15}$ кВт/ч/год
Механическая	Сток рек	0,028
Механическая	Волны	0,005 – 0,05
	Приливы и отливы	0,09
	Ветер	0,5 – 5,2
Тепловая	Градиент температур:	
	воды морей и океанов	0,1 – 1,0
	воздуха	0,001 – 0,01
	Недр Земли (вулканов)	0,05 – 0,2
Лучистая	Солнечное излучение:	
	на поверхности Земли	200 - 280
	полная энергия	1570
Химическая	Растения и торф	10

Таблица 4. Ресурсы ВИЭ в мире [107]

Виды энергии	Ресурсы, ТВт-ч/год 10 <sup>3</sup>	
	теоретические	технические
<b>Энергия Солнца:</b>		
на верхней границе атмосферы Земли	183000	-
на поверхности Земли	75913	5708
на поверхности суши	26370	2283
на поверхности мирового океана	49543	3425
<b>Энергия ветра</b>	1982	21
<b>Геотермальная энергия (до 10 км):</b>		
изливающиеся источники	34	0,4
гидротермальные ресурсы	1256	137
петрогеотермальные ресурсы	34247	2853
<b>Энергия Мирового океана:</b>		
градиент солёности	39954	399
тепловая (температурный градиент)	11,5	0,6
течений	8	0,14
приливов	3	0,8
<b>Волновая:</b>		
на суше	41	4,6
В мировом океане	22	1,7
Органические отходы	2,3	1,4
<b>Гидравлическая энергия:</b>		
крупных водотоков	3,7	1,7
малых водотоков	1,7	0,85
<b>Всего</b>	151482,6	9130,32

В табл. 4 приведена волновая энергия. Можно предположить, что сюда относится и сейсмоволновая энергия. Общая величина волновой энергии здесь в 1240 раз меньше, чем для солнечного излучения

**Табл. 5. Традиционные ресурсы возобновляемых источников энергии (ВИЭ) в России по данным Института теплофизики СО РАН [92,93,94]**

N	ВИЭ	Технический потенциал Млн. т. условного топлива
1	Солнечная энергия	2300
2	Ветровая энергия	2000
3	Геотермальная энергия	180
4	Энергия малых водотоков	125
5	Низкопотенциальное тепло	115
6	Биомасса	53

Кроме традиционного солнечного светового излучения, в табл. 4 приведены и нетрадиционные виды энергии, которые в настоящее время используются редко. Тем не менее, в древних цивилизациях, в мегалитических сооружениях Земли они активно используются или использовались ранее. Технический потенциал в табл. 6 указан условный или оценочный, сделанный автором, А. Матанцевым.

При этом, основополагающим фактором их применения является не абсолютная величина, указанная в последнем столбце таблиц, а **возможность концентрирования энергии на единице площади, или единице объема, или в определенное время**. Поэтому, даже малозначимые энергетические ресурсы, вроде магнитного поля, можно довести до высокоэнергетической субстанции, которую можно использовать после концентрирования или сжатия магнитных силовых линий.

Тут можно привести характерный пример использования

луча солнечного света. Отдельный луч может не произвести нужного эффекта, а концентрация лучей линзой, дает возможность поджечь основу, а разложение луча света призмой или кристаллом на составляющие и их концентрация позволяют сделать мощное лазерное оружие.

# **Дополнительные нетрадиционные ресурсы возобновляемых источников энергии**

Таблица 6. Составлена автором, Александром Матанцевым. Дополнительные нетрадиционные ресурсы возобновляемых источников энергии (ВИЭ), определенные по примерам использования в древних пирамидах, дольменах и других мегалитических сооружениях



Первичный вид энергии	Источник энергии	Оценочные значения, мировые ресурсы $10^{15}$ кВт/ч/год
Лучистая	Излучение от центра Земли в длинноволновом диапазоне 1 – 200 Гц	0,1 – 0,2 с временными пиками до 0,5
	Излучение от центра Земли в ультразвуковом диапазоне, более 15 кГц	0,1 – 0,2 с временными пиками до 1,0
	Излучение от концентратора энергии между тропосферой и ионосферой в длинноволновом диапазоне, 1 – 200 Гц, в том числе, резонансов Шумана	0,05 – 0,1 с максимумами, пропорциональными активности солнца до 0,2
	Излучение от объема пространства между тропосферой и ионосферой в ультразвуковом диапазоне, более 15 кГц	0,05 – 0,1
	Солнечный свет	180 - 200
	Излучение от Солнца и космоса в длинноволновом диапазоне 1-200 Гц	0,02 – 0,05 С выбросами до 0,1
	Радиационное излучение от Солнца и звезд	0,005 – 0,01 с выбросами до 0,05
	«Солнечный ветер» - совокупность излучений волнового характера	Периодические выбросы энергии 0,05 – 5,0
Электромагнитная	Электромагнитное поле между югом и севером Земли и в местах магнитных аномалий	0,005 – 0,05
Гравитационные волны	Прецессия Земли, её суточные вращения, влияние Луны	0,01 – 0,03
Два вида энергии	Гравитационное поле и второй источник, дающий вибрацию от ветра или от различных звуковых волн	0,1 – 1,0
Несколько видов энергии	Гравитационное поле и второй источник, дающий вибрацию от ветра или от электромагнитных волн	0,1 – 2,0

Рассмотрение автором вопроса о защите от катастроф и энергетики пирамид, неожиданно выявило удивительное **противоречие по величинам ВИЭ** – выполняемых источников энергии. Сущность возникшей проблемы состоит в том, что **обозначилось несоответствие по величине энергии, идущей от Земли к пирамиде, к величине энергии от Солнца**. Из отзывов ученых видно, что энергия, принимаемая древней пирамидой от Земли огромная, колоссальная и неоднократно – неисчерпаемая. **Если же посмотреть на таблицы сравнения видов ВЭИ, то там энергия излучения Солнца – самая большая, а энергия сейсмоволн – просто мизерная в одну тысячу или даже в четыре тысячи раз меньше! В чем же дело? А как же энергия самого землетрясения?** Эта же энергия в литературе вычисляется практически и оказывается такой большой, что сравнивается с сотней ядерных взрывов! Почему в таблицах ВЭИ энергия от сейсмоволн, явно и очень сильно недооценена? Причины две. Во-первых, энергию сейсмоволн не сравнивают с энергией землетрясений. Во-вторых, энергия сейсмоволн вычисляется также, как энергия солнечного излучения, усредненная по всей поверхности. Но в том —то и дело, что **область установки пирамид особая и нужно брать локальную область!**

В результате было определено, что существует установочный эффект древних пирамид, благодаря которым через них

может проходить огромная энергия от Земли.

Дальше задаем логичный вопрос: а что является причиной землетрясений. По всем учебникам, они происходят от нескольких видов волн, которые все вместе, как раз и называются сейсмическими волнами. Есть еще тепло, идущее от Земли, но оно непосредственно не участвует в процессах землетрясений, а только опосредованно.

**Поднятый вопрос является основным и определяющим в рассматриваемой проблеме применения пирамид в качестве источника энергии**

Самое время задать вопрос: «А зачем все это так сложно сделано, с какой целью?» Ведь расположение их в местах георазломов может привести к воздействию последствий землетрясений на сооружения пирамид! Зачем же такие опасности? Логика ответа простая и понятная: древние пирамиды построены не пустотелые, а с каменным наполнением и поэтому не боятся землетрясений. Кроме того, они обладают специальной противосейсмической конструкцией. С другой стороны, их **огромные размеры** позволяют при резонансных явлениях излучать такие волны, что они становятся соизмеримыми по амплитуде с воздействующими. Если же поменять фазу на 180 градусов внутри пирамиды и далее воздействовать сконцентрированные волнами обратно в Землю, то происходит уменьшение или подавление первичных сейсмических волн, или же подавление землетрясений на расстоянии при передаче сигналов через воду.

Итак, первоначальная догадка по озвученной проблеме: **в таблицах по ВИЭ даются величины сейсмической энергии без учета установочных свойств древних пирамид!** Можно сказать, и иначе: неправильно проводить усреднение мощности по огромной площади в случае использования пирамид, здесь **нужно брать локальную область** геологического разлома. После того, как будут учтены установочные свойства древних пирамид, возможно восстановить относительно сравнения энергий от ВИЭ.

Теперь вернемся к таблицам по различным видам ВИЭ из литературы, а затем попробуем составить новую таблицу с учетом установочных свойств.

Пример 1, таблица для ВИЭ из литературы [106]. В ней приводится солнечная энергия, энергия ветра, морских волн и приливов, геотермальная энергия и гидроэнергетика. Сейсмическая энергетика здесь не рассматривается вообще.

Пример 2. Виды ВИЭ по литературе [107]:

- гидравлическая энергия речного стока;
- энергия приливов, морских волн и течений;
- энергия воздушного ветрового потока;
- энергия солнечного излучения;
- тепловая энергия океана;
- геотермальная энергия;
- биологическая энергия.

Здесь также отсутствует энергия сейсмоволн

Долгие поиски привели автора А. Матанцева к состав-

лению табл. 6 с традиционным солнечным излучением, и нетрадиционными видами энергии, которые в настоящее время используются редко. Таблица составлена автором по многочисленным литературным данным.

**В этой табл. 6, составленной автором, указаны основные виды волн, пронизывающие пирамиды.** Однако величины мощности, опять же составлены по литературе без учета установочных свойств древних пирамид. Именно поэтому доля совместной сейсмической мощности (сумма излучений в диапазонах 0,01 – 100 Гц и более 15 кГц) составляет, примерно, тысячную часть от мощности солнечного излучения. **В этой таблице мощность сейсмоволн вычисляется как средняя по всей площади Земли.** Данный способ вычисления характерен для любого вида излучения, но только не для области установления пирамид. Как было указано выше, установочные свойства пирамид настолько уникальны, что здесь можно и нужно использовать не общую среднюю величину излучения, а местную, характерную только для области установки пирамид в местах георазломов. Далее необходимо вычислить энергию и мощность сейсмических волн в области пирамид с учетом установочных свойств, а после этого можно составить таблицу для ВИЭ. Окончательная таблица для ВИЭ представлена в табл. 7.

Таблица 7. Сравнение возобновляемых источников энергии (ВИЭ) за счет сейсмического воздействия, с солнечным излучением

Вид энергии	Источник информации и способ определения	Мощность, Вт на м <sup>2</sup>
Солнечное излучение в Египте днем в зените	[131] и др.	1350 - 1367
Солнечное излучение в Египте над морем, днем	[131] и др.	1020
Солнечное излучение в средней полосе летом днем	[131] и др.	800
Солнечное излучение в средней полосе зимой днем	[131] и др.	250 - 300
Сейсмическое воздействие	Интегральное воздействие по всей планете	$6,2 \cdot 10^{-4}$
Сейсмическое воздействие	Воздействие по очагам	0,2 – для магнитуды 5 6 – для магнитуды 5,5 25 – для магнитуды 6 60 – для магнитуды 6,5
Сейсмическое воздействие	Воздействие в тектонических разломах	0,415 – для магнитуды 5 24,9-для магнитуды 5,5 207,5-для магнитуды 6,0 1244,8-для магнитуды 6,5 3941,9-для магнитуды 7,0

**В этой табл. 7, учитывающей расположение пирамид в зоне тектонического разлома и энергетической сетки, мощность сейсмического воздействия от Земли настолько большая, что превышает мощность солнечного излучения в несколько раз!**

**Каким образом это было получено, смотрите далее. Суммарный расход сейсмической энергии опреде-**

ляется порядком  $10^{26}$  эрг за год. На механические разрушения, тепловой эффект в очаговых зонах расходуется примерно в 10 раз большая энергия чем на колебания земной поверхности.

Итак, указана интегральная или общая энергия сейсмического воздействия за год. Переводим эту энергию в систему СИ – в Дж, получится  $10^{19}$  Дж за год.

В году  $365 \cdot 24 \cdot 3600 = 3,1536 \cdot 10^7$  секунд.

Тогда энергия составит  $0,3171 \cdot 10^{12}$  Дж за секунду.

Указанная характеристика – интегральная, т.е. на весь земной шар. Найдем площадь поверхности земного шара. Хотя на самом деле это не шар, а геоид, но для данных оценочных расчетов можно использовать формулу для поверхности шара:  $S = 4\pi R^2$

Средний радиус Земли составляет  $R = 6371$  км, тогда

$$S = 5,1 \cdot 10^{14} \text{ м}^2$$

Разделив интегральную энергию на площадь поверхности Земли, получим энергию и мощность на один квадратный метр:

$$E = 0,00062 \text{ Дж на м}^2 \text{ или } 6,2 \cdot 10^{-4} \text{ Дж на м}^2$$

$$P = 6,2 \cdot 10^{-4} \text{ Вт на м}^2$$

Таблица 8. Соответствие магнитуды, энергии и мощности для случая подсчета по площади тектонических разломов

в Египте

Магнитуда	Площадь очага в м <sup>2</sup>	Энергия в Дж/эрг	Энергия в Дж на м <sup>2</sup>	Мощность Вт на м <sup>2</sup>
5	$2,41 \cdot 10^{11}$	$10^{11}/10^{18}$	0,415	0,415
5,5	$2,41 \cdot 10^{11}$	$6 \cdot 10^{12}/6 \cdot 10^{19}$	24,9	24,9
6	$2,41 \cdot 10^{11}$	$5 \cdot 10^{13}/5 \cdot 10^{20}$	207,5	207,5
6,5	$2,41 \cdot 10^{11}$	$3 \cdot 10^{14}/3 \cdot 10^{21}$	1244,8	1244,8
7,0	$2,41 \cdot 10^{11}$	$9,5 \cdot 10^{14}/9,5 \cdot 10^{21}$	3941,9	3941,9

Теперь сравним с энергией Солнца на поверхности Земли. Мощность солнечного излучения по литературным данным составляет от 1353 Вт на м<sup>2</sup> до 250 Вт на м<sup>2</sup> в зависимости от места и времени суток.

**Полученные результаты поражают! Мощность сейсмического воздействия в области тектонических разломов при магнитуде более 6,5 настолько велика, что превышает мощность солнечного излучения! Теперь становится понятным, почему ученые пишут о том, что энергия, которую могут принять древние пирамиды колоссальна! В данном случае показано на цифрах, насколько это справедливо!**

**Версия ученого А. Б. Петухова о том, что древние пирамиды могли управлять сбросом энергии, накопившейся на стыках литосферных плит, предотвращая тем самым катастрофические землетрясения или извержения вулканов, подтверждается здесь на цифрах.**



Кроме того, данные этой табл. 8 подтверждают на цифрах тот факт, что древние пирамиды совершенно не случайно расположили в местах тройной силы:

- на энергетической сетке Хартмана, на сетке Курри,
- на энергетической Русской сетке,
- в местах тектонических разломов.

Такая установка древних пирамид позволяет пропускать через пирамиды настолько большие энергии, что они могут обратно воздействовать на сейсмическую обстановку и подавлять полностью или частично катастрофы.

# Причины выбора места с повышенной энергетикой

Автор, Александр Матанцев, проводил исследования по назначению мегалитических сооружений в самых различных частях мира, в том числе в Египте, Мексике, Индии, России. Об этом можно почитать в его книгах [1 – 7]. **Их назначение многофункциональное**. Одно из приоритетных – защитные функции, связанные с подавлением землетрясений и других катастроф за счет направленного распространения сформированных звуковых волн. Необходимым условием для этого является наличие потоков воды, наемных или подземных и наличие мест энергетической силы. Только в местах, обладающих энергетической силой, где проходят тектонические разломы, вблизи линий и узлов Русской сетки, возможны такие воздействия.

Автор обратил внимание на то, что **Александр Македонский со своей армией победил во всех сражениях в местах энергетической силы**, и не победил в той области Индии, где не проходит линия энергетической силы. Первичная мысль об этом, была обжигающей. Неужели? Нет, не может быть! Тогда автор, как всегда, провел подробное исследование по этому вопросу и приводит здесь результаты.

Теперь автор смотрит на карту завоеваний другими глазами. Что это за территории, где они расположены и где на-

ходится Индия и почему её не завоевала армия Александра Македонского.

Теперь сделаем небольшое **отступление о местах энергетической силы**. Еще древний философ Платон, ссылаясь на представления своих предшественников, писал, что Земля похожа на кожаный мяч, сшитый из **12 правильных пятиугольников и 20 равносторонних треугольников**. Узлы соединений этих геометрических фигур являются энергетическими центрами, или чакрами, Земли. Часть из них принимает космическую энергию (светлые чакры), а другие отдают земную энергию (темные чакры).

Платон был одним из первых мыслителей, описавших понятие **Земли как кристалла**. Через много лет французские ученые, геолог Эли де Бомон и математик Жюль Анри Пуанкаре, предложили теорию деформации Земли в форму додекаэдра. Взяв за основу эту теорию, русские инженеры Валерий Макаров и Вячеслав Морозов пришли к неожиданному открытию: на вершинах додекаэдра располагаются наиболее известные аномальные зоны планеты и древние культурные центры – Бермудский треугольник, Море дьявола, египетские пирамиды, остров Пасхи, аномальная зона Молеб-ка. Именно в **этих узловых точках планеты происходит самый сильный энергообмен между биосферой и космосом**. Зная об этих явлениях, наши предки умело использовали их, накапливая, используя и передавая энергию пла-

неты на расстояние. Упоминания об этом сохранились практически во всех мифах и легендах древних народов, дойдя до сегодняшних дней в виде упрощенных методик очищения организма «силами матери-земли». Геокристалл служит основой энергетического каркаса нашей планеты, который прокачивает через себя космическую энергию.

Начало гипотезе об икосаэдро-додекаэдрической структуре Земли (ИДСЗ) было положено исследованиями Н. Ф. Гончарова в области истории древних народов и их искусства. Нанеся на глобус очаги известных ему в то время наиболее крупных и примечательных культур и цивилизаций Древнего мира, он заметил ряд закономерностей в их расположении относительно друг друга, а также относительно географических полюсов и экватора планеты. Так, очаг древней протиндийской цивилизации Мохенджо-Даро и древняя самобытная и загадочная культура острова Пасхи в Тихом океане находятся соответственно на 27 градусе северной и южной широты. В то же время, эти районы лежат на противоположных концах оси, проходящей через центр Земли.

От Мохенджо-Даро до Северного географического полюса, как и от острова Пасхи до Южного полюса, одно и то же расстояние. А от пирамид Гизы Древнего Египта до Мохенджо-Даро ровно в два раза ближе. Продлив линию, соединяющую эти две цивилизации, на запад на такое же расстояние, а затем соединив её концы с Северным полюсом планеты, можно получить гигантский равносторонний треуголь-

ник Земли.

В окончательном виде открытие Русской энергетической сетки или Икосаэдро-додекаэдрической структуры Земли (ИДСЗ), как фактор влияния на биосферу вообще и человека в частности, сделали отечественные ученые Н. Ф. Гончаров, В. А. Макаров, В. С. Морозов. Эта сетка показана на рис. 23.

Сравниваем эту сетку с картой завоеваний Александра Македонского. Завоеванные земли расположены вдоль энергетической линии от узла №1 (Египет) до узла №12 перед Индией, а также вдоль линий от узла №1 до узла №2 и от узла №2 до узла №12 и часть линии от узла №12 до узла №3.



Рис. 23. Энергетическая Русская сетка, или ИДСЗ [133]

Но это не все. На рис. 24 показана карта мира с зонами сейсмической активности, а на рис. 25 – карта с сеймоопасными зонами. Смотрим внимательно на эти карты. Через указанные места завоеваний Александра Македонского проходит зона с сейсмической активностью, обозначенная красно-малиновым цветом. Значит, здесь сейсмическая активность имеет категорию «High» или «сильная».

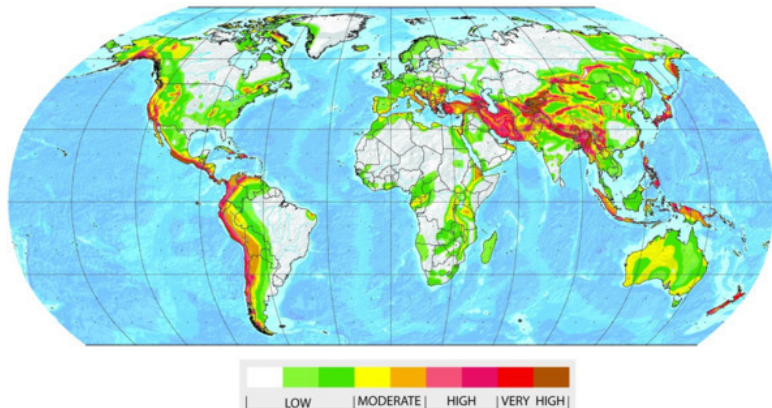
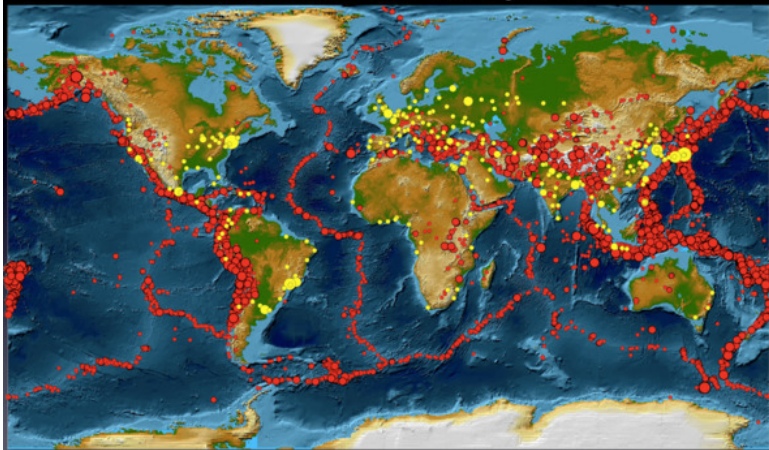


Рис. 24. Сейсмическая активность [134]

## Global Cities & Earthquakes



all earthquakes (red)  $M \geq 5.5$ ; cities (yellow) with population  $> 1000000$

Рис. 25. Карта сейсмоопасных зон в мире [135]

Чтобы легче было сравнивать, выделим из мировой карты сейсмоопасных зон на рис. 25 ту часть, где проходили бои войска. В результате получим карту на рис. 224.



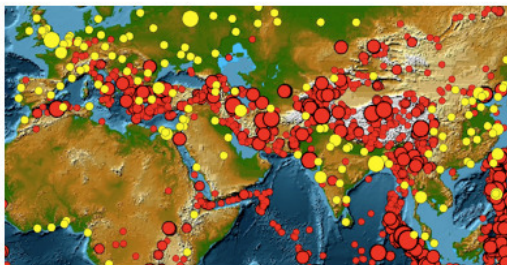


Рис. 26. Зона мировой карты сейсмической активности [135]

Теперь, по этой карте на рис. 26, сравнивать существенно легче. Из неё видно, что на всех завоеванных зонах сейсмическая активность высокая, она отображается красно-коричневыми кружочками. В области расположения Индии, в основном кружочки желтого цвета, это означает, что здесь сейсмичность низкая.



Рис. 27. Карта тектонических плит мира [136]

Теперь посмотрим на карту расположения тектонических плит – рис. 27. По этой карте видно, что большая часть земель, завоеванных Александром Македонским, находится в зоне Иранской тектонической плиты. Она нарисована желтым цветом и обозначена на карте на рис. 27.

Далее, сделаем еще одно отступление, чтобы обозначить величины сейсмической активности и определить мощность упругих волн, распространяемых в областях сейсмической активности.

На рис. 24 тектоническая активность была указывается в виде зон: **low** (низкая), **moderate** (средняя), **high** (высокая), **very high** (очень высокая). В области завоеваний Александром Македонским преобладает красно-бардовая окрас-

ка, т.е. это территории с высокой сейсмической активностью.

В табл. 9 показаны численные значения по магнитуде и бальности для разных зон сейсмической активности.

Таблица 9. Классификация землетрясений по магнитуде

<b>КЛАССИФИКАЦИЯ землетрясений по магнитуде и бальности</b>		
<b>Характеристика землетрясений</b>	<b>Магнитуда (М)</b>	<b>Бальность</b>
Катастрофическое, планетарного масштаба	9	11- 12
Сильное, регионального масштаба	7- 8	9- 10
Сильное, локального масштаба	6 - 7	7 - 8
Средней силы	5 - 6	6 - 7
Слабое, местное	4 - 5	5 - 6

В соответствии с данной таблицей, в области сейсмической активности сильного регионального масштаба магнитуда составляет 7 – 8, а в местах сильного локального масштаба магнитуда составляет 6 – 7.

Теперь становится понятным установка блоков в пирамидах и храмах с небольшим наклоном к центру, как делается в сейсмически опасных районах.

Таким образом, в этих областях соблюдены условия для возбуждения пьезоэффекта и генерирования ультразвукового и низкочастотного излучения.

**Это означает, что вибрации почвы в этих областях под действие установки в месте сосредоточения сил, достаточны для того, чтобы вызвать пьезоэффект в кварцесодержащих материалах и достаточно для возникновения резонансных процессов на звуковых волнах.**

В доказательство того, что сейсмические сигналы в местах силы имеют большую мощность, в табл. 10 приведены результаты вычислений автором значения этой мощности на один квадратный метра для разных магнитуд сейсмического сигнала.

**Таблица 10. Сравнение возобновляемых источников энергии (ВИЭ) за счет сейсмического воздействия с солнечным излучением**

Вид энергии	Источник информации и способ определения	Мощность, Вт на м <sup>2</sup>
Солнечное излучение в Египте днем в зените	[106]	1350 - 1367
Солнечное излучение в Египте над морем, днем	[106]	1020
Солнечное излучение в средней полосе летом днем	[106]	800
Солнечное излучение в средней полосе зимой днем	[106]	250 - 300
Сейсмическое воздействие	Интегральное воздействие по всей планете	$6,2 \cdot 10^{-4}$
Сейсмическое воздействие	Воздействие по очагам	0,2 – для магнитуды 5 6 – для магнитуды 5,5 25 – для магнитуды 6 60 – для магнитуды 6,5
Сейсмическое воздействие	Воздействие в тектонических разломах	0,415 – для магнитуды 5 24,9-для магнитуды 5,5 207,5-для магнитуды 6,0 1244,8-для магнитуды 6,5 3941,9-для магнитуды 7,0 24834- для магнитуды 7,5

Огромная мощность выделяется при магнитуде в 7,0 и 7,5, то есть при состоянии землетрясения. **В обычном состоянии во всех сейсмически опасных местах средняя сейсмичность меньше** и для области сильной активности магнитуда может составлять в диапазоне от 5,5 до 6. Из табл. 6 можно найти, что для такой магнитуды землетрясений, конечно, нет, но почва вибрирует под действием мощности от 24,9 до 207,5 Вт/м<sup>2</sup>.

Попробуем оценить величину и возможности этой мощности. Возьмем, для примера значение из этого диапазона в **100 Вт/м<sup>2</sup>**. Много это или мало? Что такое мощность? Один Ватт в системе Си

$$\text{Вт} = \text{кг} \cdot \text{м}^2/\text{с}^3$$

Для того, чтобы ощутить эту мощность, удобно перейти к старой системе и определить мощность через кгс:

$$1 \text{ Вт} \approx 0,102 \text{ кгс} \cdot \text{м}/\text{с}, \text{ тогда } 100 \text{ Вт} = 10,2 \text{ кгс} \cdot \text{м}/\text{с}$$

**Килограмм-сила (кгс)** равна **силе**, сообщаемой телу массой один **килограмм** ускорение  $9,80665 \text{ м}/\text{с}^2$  (нормальное ускорение свободного падения).

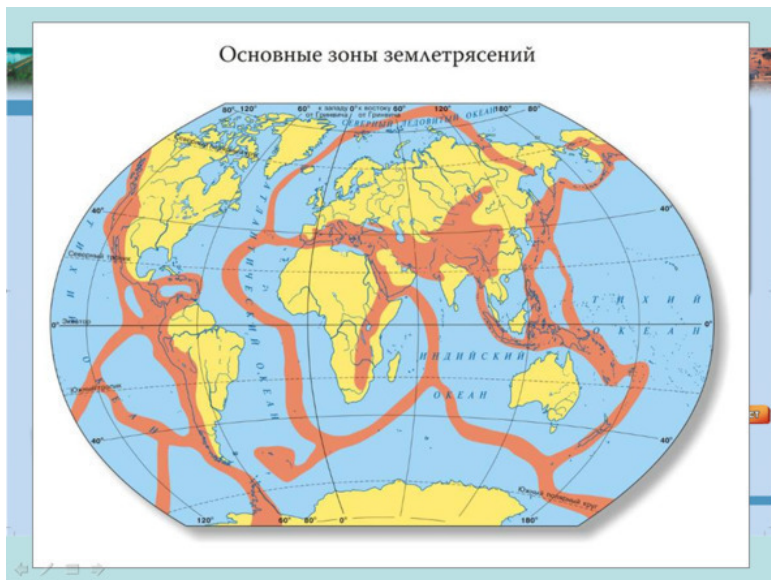
Из справочных данных можно найти, что при силе ветра в 6 баллов, давление волн воды составляет  $11 \text{ кг на м}^2$ . Таким образом, получается, что **сейсмическая активность с магнитудой в диапазоне от 5,5 до 6 примерно равна действию волн при шторме в 6 баллов!**

Все это сравнение делается с одной целью: чтобы понять, достаточно ли возникает воздействие для возникновения резонансных процессов

Данное сравнение показывает, что **этой мощности вполне достаточно, чтобы возникли оба эти процесса**, так как воздействие  $10,2 \text{ кгс} \cdot \text{м}/\text{с}$ , под влиянием сейсмических звуковых волн эквивалентно воздействию волны при шторме в 6 баллов, это очень существенное воздействие.

**Это логичное размышление многократно подтвер-**

**ждается на практике. Не только при магнитуде 5,5 до 6, но и при магнитуде начиная от 4,5 и 5 достаточно для того, чтобы начались оба эти процесса.**



**Рис. 28. Карта зон землетрясений и сейсмическая активность [137]**

**Определения энергии и мощности сейсмических волн через магнитуду**

**Землетрясение оценивается по его энергии и интенсивно-**

сти разрушений на поверхности Земли [106]. Рихтер предложил характеризовать энергию землетрясений магнитудой – условной величиной, отображающей общую энергию упругих колебаний. Энергия землетрясений  $E$  связана с магнитудой  $M$  соотношением:

$$\lg E = 4 + 1,6 M \quad (1)$$

При землетрясении, для которого  $M=5$ , энергия  $10^{12}$  Дж. По сейсмической шкале Рихтера самому сильному землетрясению соответствует магнитуда 9. Магнитуда позволяет сравнивать источники колебаний по их энергии.

Формула (1) является не единственной для подсчета энергии через магнитуду. Есть и другие формулы.

Так, по Б. Б. Голицыну, энергия  $E$  определяется формулой [107]:

$$E = \pi^2 \rho V (a/T)^2 \quad (2)$$

Где  $\rho$  – плотность верхних слоев Земли,

$V$  – скорость распространения сейсмических волн,

$a$  – амплитуда смещения почвы,

$T$  – период колебаний

Для Аляскинского землетрясения 1964 года с магнитудой 8,5 энергия равнялась  $10^{18}$  Дж и была эквивалентна по Н. И. Николаеву силе взрыва 100 ядерных бомб по 100 мегатонн.

В 1977 Канамори предложил принципиально иную оценку интенсивности землетрясений [108]



Сейсмический момент землетрясения определяется как:

$$M_0 = A\mu u$$

$\mu$  – модуль сдвига горных пород, порядка 30 ГПа,

$A$  – площадь, на которой замечены геологические разломы,

$u$  – среднее смещение вдоль разломов.

Таким образом, в единицах СИ сейсмический момент имеет размерность  $\text{Па} \cdot \text{м}^2 \cdot \text{м} = \text{Дж} \cdot \text{м}$ .

Магнитуда по Канамори определяется как:

$$M_w = 2/3 (\lg M_0 - 9,1)$$

где  $M_0$  – сейсмический момент, выраженный в  $\text{Дж} \cdot \text{м}$ .

Шкала Канамори хорошо согласуется с более ранними шкалами при

$3 < M < 7$  и лучше подходит для оценки крупных землетрясений.

В каком-то смысле различные способы измерения магнитуды землетрясений являются приближениями к «идеальной» энергетической шкале:

$$M = 2/3 (\lg E - 4,8)$$

где  $E$  – энергия землетрясения в джоулях.

Преобразуем то выражение и получаем:

$$\lg E = 4,8 + 1,5M \quad (3)$$

Сейсмическая энергия, выделяемая при ядерном взрыве мощностью 1 мегатонн, эквивалентна землетрясению с магнитудой около 6,0. Стоит заметить, что только небольшая часть энергии взрыва преобразуется в сейсмические колеба-

ния.

Часть выделившейся энергии, помимо формирования сейсмических волн, расходуется на преодоление сил трения в очаге, на пластические деформации, на выделение тепла. Эмпирически было получено соотношение между энергией землетрясения (E) и его магнитудой (M):

$$\lg E = \alpha + \beta M \quad (4)$$

Коэффициенты  $\alpha$  и  $\beta$  у различных авторов отличаются.

Лучший вариант  $\lg E = 11 + 1,6 M$  (по Г. П. Горшкову – в эргах)

Если пересчитать в Дж, то формула Г. П. Горшкова имеет обычный вид [109]

$$\lg E = 4 + 1,6 M \quad (5)$$

У Гуттенберга встречаются другие коэффициенты [224, 231, 239, 240]:

$$\lg E = 11,8 + 1,5 M - \text{в эрг} \quad (6)$$

$$\lg E = 4,8 + 1,5 M - \text{в Дж} \quad (7)$$

Интенсивность землетрясений [110]

$Y = 1,5 (M-1)$  – качественный показатель, оценивается по 12-бальной шкале MSK

Энергия землетрясения в Джоулях:

$$E = 10^{(5,24 + 1,44M)}$$

Формулы Н. В. Шабалина [111]

$$\lg E = 4 + 1,8M, M < 3 \quad (8)$$

$$\lg E = 5 + 1,5M, M > 3 \quad (9)$$

Э. Мамыров, доктор геол.-мин. наук. Энергия сейсмического излучения и магнитуда сильных землетрясений Тянь-Шаня [112]

$$\text{LgE} = 4,8 + 1,5\text{Ms} \quad (10)$$

Ms – магнитуда поверхностных волн

$$\text{lgE} = 1,59\text{mb} - 3,97 \quad (11)$$

mb – магнитуда объемных волн

Энергия всего сейсмического излучения

$$\text{lgE} = 4,4 + 1,5\text{Ms} - \text{формула в США} \quad (12)$$

Формула Брюса Болта [76]:

$$\text{lgE} = 11,8 + 1,5\text{Ms} - \text{в эргах} \quad (13); \quad \text{lgE} = 4,8 + 1,5\text{Ms} - \text{в Дж} \quad (14)$$

После того, как найдены формулы, следует ввести в них величину магнитуды. Вспомним, что рассматривается случай для Египта, для плато Гизы. Найдем величину магнитуды для Египта.

На карте, на рис. 29 представлена географическая область, охватывающая Египет и сопредельные страны [113]. По данной карте находим, что **Египет относится к среднему уровню сейсмической активности**. По другим источникам определяем, что средний или умеренный уровень сейсмической активности характеризуется величиной магнитудой в 5 – 5,9 [114] и 5 – 6 в [115].

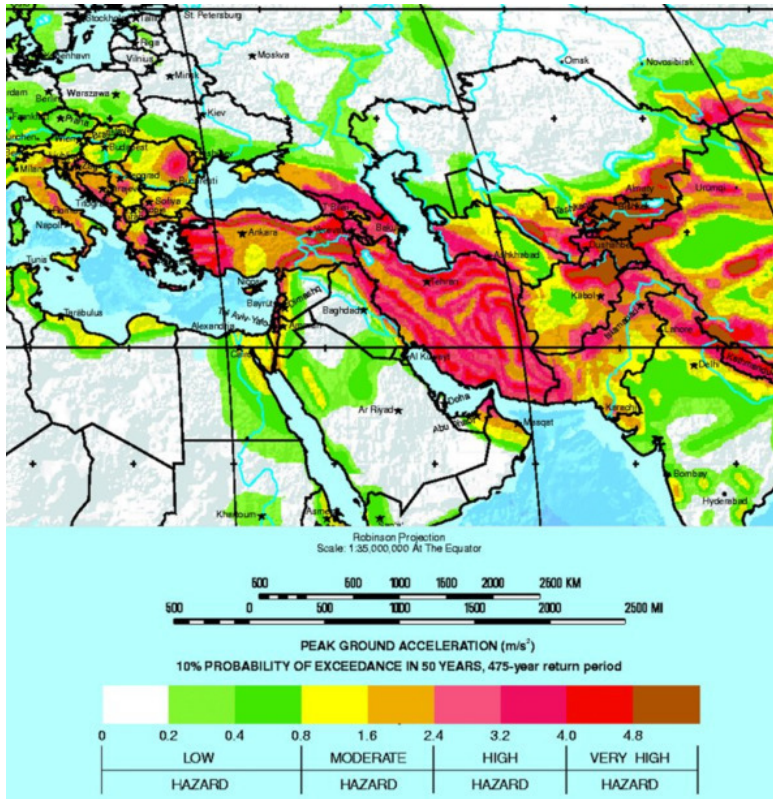


Рис. 29. Уровни сейсмической активности Египта и сопредельных стран [113]

Таблица 11. Классификация землетрясений по магнитуде и бальности [115]

Характеристика землетрясений	Магнитуда М	Бальность
Катастрофическое, планетарного масштаба	9	11 - 12
Сильное, регионального масштаба	7 - 8	9 - 10
Сильное, локального масштаба	6 - 7	7 - 8
Средней силы	5 - 6	6 - 7
Слабое, местное	4 - 5	5 - 6

Таблица 12. Классификация событий по магнитудам [114]

Магнитуда	Характеристика	Эффект	Повторяемость
До 2	микро	Не ощущается	8000 в день
2 – 3,9	растрескивание	Регистрируется	1000 в день, 49000 в год
4 – 4,9	слабые	Дрожание стекол	6200 в год
5 – 5,9	умеренные	Трещины в зданиях	800 в год
6 – 6,9	сильные	Локальные разрушения 200 км	120 в год
7 – 7,9	разрушительные	Региональные разрушения 1000 км	18 в год
8 – 8,9	катастрофические	Разрушения на несколько тысяч км	1 в год
9 – 9,9	великие	Глобальные разрушения	1 в 20 лет

Сделаны отдельные исследования в диссертации Хассана Махмуда Гомаа Ибрагима «Изучение, оценка и прогноз инженерногеодинамических условий долины, дельты реки Нила и сопредельных территорий в Египте». Диссертация на со-

искание учёной степени кандидата геолого-минералогических наук. Саратов, 2016 г [116]. В этой диссертация проведены исследования географического бассейна, где расположен Египет. Вот основные положения.

Стабильный шельф – это пояс, простирающийся от южного Египта к северной границе до центрального Синай. Он характеризуется низким рельефом и осадочным покровом континентальных и морских отложений преимущественно от мезозоя до раннего третичного периода, деформированного сериями регионального складкообразования.

Нестабильный шельф занимает почти всю территорию северного Египта с осадочным чехлом, залегающего на фундаменте. Дельта Нила считалась частью пассивного переднего края Африканской плиты вдоль юго-восточного средиземноморского побережья. Сейсмическая зона почти совпадает с современной средиземноморской прибрежной зоной, отделяющей нестабильный шельф от миогеосинклинальной бассейновой области.

Египет с территорией около  $1000000 \text{ км}^2$  и находится в северо-восточном углу Африки. На севере граничит со Средиземным морем, на востоке с Красным морем и заливом Акаба. Африканский континент, как правило, считается стабильным регионом, за исключением Восточно-Африканского рифта, который разветвляется в северной части Эфиопии к Красному морю и к рифтам Аденского залива. В восточной части Египта, рифты Красного моря разветвляются к Суэц-

кому заливу и заливу Акаба. В средиземноморском районе, Африканская плита сталкивается с Евразийской плитой. Отсюда вытекает, что основные сбросы и поверхностные контуры, развиты по трём направлениям: красноморское (СЗЮВ), направление залива Акаба (ССВ-ЮЮЗ) и средиземноморское направление (В-З).

Структура дельты Нила считается более сложной, поскольку пролегает в Нестабильном шельфе северо-восточной Африки. Она находилась под влиянием взаимодействия границ трех тектонических плит: Африканской, Евразийской и Аравийской [117].

Направление разломов: 1. Красное море; 2. Левант-Акаба; 3.

Средиземное море.

Сейсмичность определяется как распределение сейсмической активности по времени, месту, магнитуде и глубине во время исторических и недавних периодов времени. Исследование сейсмичности является важным для понимания динамического поведения Земли, а также для прогнозирования землетрясений и погоды. Она также пригодна для определения опасности землетрясений в конкретной области и сосредоточена в различных сейсмических зонах, например, в сейсмических зонах Средиземного и Красного морей. Вдоль Греческих и Кипрских дуг, эпицентры землетрясений составляют активный сейсмический пояс. В северной части Красного моря в Суэцком заливе, эпицентры сгруппи-

рованы на входе в Суэцкий залив и рассредоточены по всему заливу и в Восточной пустыне Египта. Рассредоточенные землетрясения происходят в нескольких местах, таких как район дельты Нила (например, Абу Забал, Файед и Эль Шаргай), вдоль реки Нил (Дахшур, Бени Свиф, Сохаг и Асуан), в юго-западном углу на границе между Египтом и Ливией (Эль-Гельф Эль-Кабир) и вдоль западного побережья Красного моря (Абу Даббаб). Некоторые землетрясения влекут за собой огромные утраты человеческих жизней, повреждения зданий и социально-экономическую дестабилизацию. Поэтому такие события называют разрушительными землетрясениями, как, например, произошедшие 12 октября 1992 года в Дахшуре и 22 ноября 1995 года в Акабе.

**Итак, исходя из карт средней или умеренной активности географического района, где расположен Египет, и по отдельным исследованиям, однозначно определено что для этой области величина магнитуды составляет 5 – 6.**

Прежде, чем поставить в формулы найденное значение магнитуды  $M = 5 \dots 6$ , следует обосновать, насколько это правильно и правомочно. Это очень важный момент. Сущность этого обоснования состоит в том, что вся ли энергия сейсмоволн используется пирамидой. Можно вопрос поставить иначе: является ли вся энергия сейсмоволн той энергией, которая проходит через пирамиду? Что с физической точки зрения означают формулы (1) – (14)? Они означают, что



упругие процессы, происходящие внутри Земли, приводят к сейсмической активности магнитудой  $M$ , сопровождающейся энергией  $E$ . В общем случае, любой объект, находящийся в области землетрясения, подвергается воздействию сейсмических волн, но величина энергии в области объекта может быть любой, в зависимости от расстояния от эпицентра.

Вот теперь самое время напомнить **о свойстве древних пирамид расположения на тектонических разломах**. Это расположение необыкновенное и направлено на использование максимально возможной энергии. Вот как указывается в лекциях для студентов [118]: **«Эпицентры 95% землетрясений расположены на границах литосферных плит и внутри плит – 5%»**.

Установочные свойства древних пирамид уникальны и за счет расположения на тектоническом разломе **95% энергии проходит и через пирамиду**. Поэтому во всех формулах необходимо ввести коэффициент  **$K_c = 0,95$**  и реальная энергия  $E_p = 0,95 E$ ,

Где  $E$  – расчетное значение, получаемое по формулам.

Все эти формулы для  $M > 3$  можно в окончательном виде представить так:

$$E_p = K_c \cdot 10^{(4+1,6M)} \quad (15)$$

$$E_p = K_c \cdot 10^{(5+1,5M)} \quad (16)$$

$$E_p = K_c \cdot 10^{(4,8+1,5M_s)} \quad (17)$$

$$E_p = K_c \cdot 10^{(4,4+1,5M_s)} \quad (18)$$

Отличие в формулах объясняется тем, что все они были выведены эмпирически и содержат внутри плотность земли, которая может быть разной.

Итак, вводим в формулы (15) – (18) значения магнитуды  $M = 5 \dots 6$ .

В результате получаем энергию сейсмического воздействия Земли в диапазоне от  $10^{12}$  до  $10^{14}$  Дж

Далее, необходимо найти мощность сейсмического воздействия. В международной системе единиц СИ энергия определяется через Джоули и  $\text{Дж} = \text{Н} \cdot \text{м} = \text{кг} \cdot \text{м}^2 / \text{с}^2$

Таким образом, энергия  $E$  определяется силой в Ньютонах, производимую на единице длины в 1 метр.

Мощность  $P$  определяется энергией, производимой в единицу времени, т. е.  $\text{Вт} = \text{Дж} / \text{с} = \text{кг} \cdot \text{м}^2 / \text{с}^3$

Исходя из систем международных единиц, мощность  $P$  можно пересчитать по формуле через энергию  $E$  и время в секундах:

$$P = E / c \quad (19)$$

В результате находим, что за 3600 с или за час, мощность составляет в пределах от  $263,9 \cdot 10^6$  до  $263,9 \cdot 10^8$  Вт-час

Указанная мощность пронизывает литосферный разлом, где расположена пирамида (одна или несколько). Площадь основания Великой пирамиды составляет  $230,4 \times 230,3 = 5,31 \cdot 10^4 \text{ м}^2$ . (Примечание. Стороны основания пирамиды

указываются по-разному в источниках литературы, погрешность составляет до 1 м).

Говоря о катастрофах, имеются в виду не только землетрясения, но и цунами и другие бедствия. В книге авторов Б. А. Болт, У. Л. Хорн, Г. А. Макдоналд, Р. Ф. Скотт «Геологические стихии: землетрясения, цунами, извержения вулканов, лавины, оползни, наводнения» Изд. Мир, 1978, 440с с. [120] дается таблица соответствия магнитуды землетрясения и магнитуды цунами.

Табл. 13. Соответствие магнитуды землетрясения магнитуде цунами.

Магнитуда землетрясения	Магнитуда цунами	Максимальная высота головной волны цунами, м
6,0	Незначительная	-
6,5	- 1	0,5 – 0,75
7,0	0	1,0 – 1,5
7,5	1	2,0 – 3,0
8,0	2	4,0 – 6,0
8,5	3	8,0 – 12,0

Далее необходимо **рассчитать энергию и мощность тектонической активности.** Это можно делать тремя основными способами:

- через общепланетарную тектоническую активность для всех возможных магнитуд;
- через местный очаг тектонической активности определенной площади;
- в тектонических разломах.

Начнем этот расчёт с анализа литературных источников по тектонической активности.

# **Анализ литературных источников по тектонической активности**

В процессе образования Земли выделилась огромная энергия, приблизительно равная  **$23,24 \cdot 10^{38}$  эрг** [121]. Часть этой энергии, около  $3,24 \cdot 10^{38}$  эрг, ушла на упругое сжатие земных недр, остальное  $20 \cdot 10^{38}$  эрг ушло в тепло. Сейчас начальный теплозапас составляет  $7,12 \times 10^{37}$  эрг.

**Потенциальная энергия современной Земли составляет  $24,933 \times 10^{38}$  эрг.** Всего до нашего времени в Земле выделилось около  $16,84 \times 10^{37}$  эрг гравитационной энергии, из которых  $4,2 \times 10^{37}$  эрг ушло на дополнительное сжатие Земли, а энергия гравитационной дифференциации, перешедшая в кинетическую энергию конвективных течений и тепло, приблизительно равна  $12,64 \times 10^{37}$  эрг.

Тектоническая активность Земли связана с движением земных масс и плавлением земного вещества. Проявляется эта активность в магматических внедрениях глубинного вещества в земную кору, в изменении земной коры, во вторичном переплавлении коровых пород, при землетрясениях и во многих других случаях движения земного вещества. Эти перемещения приводят, в конечном итоге, преобразованию кинетической энергии движения вещества в тепло. По-

этому естественным мерилom тектономагматической активности Земли является поступающий из мантии глубинный тепловой поток. Сейчас, примерно,  $3 \times 10^{20}$  эрг/сек.

Мощность магнитного поля невелика и составляет, по оценкам, от  $2 \times 10^{16}$  до  $10^{19}$  эрг/сек (Паркинсон, 1986) [121].

Источником энергии геомагнитного поля является:

- остывание Земного ядра, при этом в глубинах Земли выделилось  $5,52 \times 10^{37}$  эрг кинетической энергии (за 4,5 млрд лет); сейчас таким образом может выделяться около  $1,8 \times 10^{18}$  эрг/сек тепловой энергии, что соответствует значениям геомагнитного поля;

- возникновение на поверхности земного ядра струйных течений мантийного вещества. Течения эти замыкают конвективные движения мантии в единые замкнутые структуры и всегда направлены от подошвы нижней мантии.

Кинетическая энергия, выделяемая на поверхности земного ядра, в настоящее время составляет  $9,3 \times 10^{19}$  эрг/сек.

**Гравитационная энергия**, выделяемая на поверхности земного ядра, приблизительно в 50 раз превышает энергию остывания ядра, и **намного выше энергии магнитного поля.**

**Итак, проявляется три вида энергии:**

- 1) **энергия магнитного поля**  $2 \times 10^{16} - 10^{19}$  эрг/сек,
- 2) **кинетическая энергия**, выделяемая на поверхности

земного ядра –  $9,3 \times 10^{19}$  эрг/сек,

3) **энергия остывания ядра** – в 50 раз меньше кинетической энергии.

Тектоника литосферных плит была сформулирована только в 60-х годах. Природа же глобальных процессов, управляющих тектонической активностью Земли, стала проясняться ещё позже – лишь в середине 70-х годов (Геодинамика, 1979). К настоящему времени эти процессы во многом уже рассмотрены теоретически, хотя и не всегда столь глубоко изучены, как этого бы хотелось.

Критике прежних гипотез посвящено много работ (Сорохтин, 1985; Сорохтин, Ушаков, 1991), поэтому, не останавливаясь подробно на их разборе, отметим лишь основные недостатки, а часто и просто несуразности таких гипотез. Так, в любых вариантах гипотез такого рода обычно не описываются и тем более количественно не рассчитываются физически приемлемые механизмы, способные обеспечить изменения объёма Земли в предполагаемых масштабах. Воздействие приливных сил на Землю в современную эпоху их влияние со стороны Луны (наибольшего «возмутителя спокойствия») ничтожно мало – не превышает 1%. Тем не менее градиент ускорения силы тяжести лунных приливов  $1,7 \times 10^{-13} \text{ с}^{-2}$  существенно выше солнечного градиента  $7,87 \times 10^{-14}$  и на много порядков превышает градиенты, создаваемые галактическим полем тяготения  $1,5 \times 10^{-30} \text{ с}^{-2}$ .

Следовательно, градиент силы тяжести лунных приливов приблизительно в  $10^{17}$  раз больше градиента, создаваемого галактическим гравитационным полем, поэтому ни о каких влияниях «галактического года» на тектонику Земли и говорить не приходится.

То же самое можно сказать и о влиянии неравномерности собственного вращения Земли на её тектоническую активность. Общая энергия вращения современной Земли, как известно, приблизительно равна  $2,1 \times 10^{36}$  эрг. Начиная с позднего архея плавное замедление вращения Земли практически не влияло на тектоническую активность нашей планеты. Что же касается неравномерностей её вращения, вызываемые как самими тектоническими движениями, так и колебаниями солнечно-земных связей, то мощность таких энергетических воздействий не превышает  $1,6 \times 10^{17}$  эрг/с. Это почти на 3,5 порядка меньше суммарной мощности эндогенных источников энергии, питающих собой тектоническую активность Земли. Суммарный поток солнечной энергии на земную поверхность (около  $1,75 \times 10^{24}$  эрг/с) приблизительно в 4 000 раз превосходит величину глубинного теплового потока самой Земли ( $4,3 \times 10^{20}$  эрг/с). Верхние же геосферы Земли – её атмосфера, гидросфера, земная кора и даже литосфера находятся в постоянном массообмене друг с другом. При этом не следует забывать, что эти внешние геосферы сформировались на Земле только благодаря дей-



ствию эндогенных процессов дегазации и дифференциации земных недр. Однако существование на Земле жидкой фазы воды, комфортных климатических условий, высокоорганизованной жизни, развитие процессов выветривания горных пород, образования горючих и других экзогенных полезных ископаемых **связаны исключительно с солнечным излучением**. Наглядной мерой тектонической активности Земли может выступать **средняя скорость относительных перемещений литосферных плит (современное значение этой скорости близко к 4,5—5 см/год)**. Однако если учесть, что энергия любых динамических (тектонических) процессов в недрах Земли в конце концов переходит в тепло, то наиболее естественной мерой тектонической активности Земли все-таки является идущий из мантии глубинный тепловой поток, суммарное значение которого **сегодня достигает значений  $3,39 \times 10^{20}$  эрг/с**.

В настоящее время есть много доказательств того, что тектонические процессы в литосферной оболочке Земли непосредственно связаны с конвективными движениями вещества в глубинах мантии. Главными из них можно считать дрейф континентов; молодость дна океанов; наличие глобальной системы рифтовых зон, в которых на поверхность поднимается мантийное вещество и образуется молодая океаническая кора; существование глобальных поясов сжатия, под которыми океаническая кора погружается в мантию. Имеется ряд других фактов, подтверждающих этот вывод.

Скорость современного конвективного массообмена в мантии приблизительно равна  $6 \times 10^{18}$  г/год, или  $1,9 \times 10^{11}$  г/с. За все время тектонической активности Земли (с  $4,0 \times 10^9$  лет назад и до наших дней) её теплопотери, связанные с конвективным переносом тепла, составили приблизительно  $12,4 \times 10^{37}$  эрг, а современный глубинный тепловой поток за вычетом эффекта послепархейского остывания Земли равен  $3,39 \times 10^{20} - 0,25 \times 10^{20} = 3,14 \times 10^{20}$  эрг/с. Отсюда можно определить и суммарную массу мантийного вещества, участвовавшего в конвективном массообмене: она оказывается равной  $7,5 \times 10^{28}$  г. Массы же Земли и современной мантии соответственно равны  $5,977 \times 10^{27}$  и  $4,014 \times 10^{27}$  г, откуда находим, что к настоящему времени суммарная масса мантийного вещества, прошедшего через конвективный массообмен, приблизительно в 12,5 раза превышает массу самой Земли и примерно в 18,7 раз – массу современной мантии. Аналогичные оценки показывают, что за все послепархейское время (с 2,6 млрд лет назад до современности), конвективный массообмен в мантии приблизительно равен  $3,21 \times 10^{28}$  г, что почти в 8 раз превышает массу современной мантии. Приведённая оценка, несмотря на её приближённость, все же очень наглядна и показывает, что конвективный массообмен в мантии действительно огромный, поэтому пренебрегать им нельзя.

Точной оценки геологической энергии все еще нет, однако приблизительно энергия гравитации  $2,5 \times 10^{32}$  Дж, ротации  $2,1 \times 10^{29}$  Дж и гравитационной конвекции  $5,0 \times 10^{28}$  Дж.

Мощность приливного воздействия Луны достигает  $10^{13}$  Вт.

Ежегодная «интегральная сейсмическая энергия» в XX веке составляла порядка  $1.5—25.0 \times 10^{24}$  эрг. Причины разрушения литосферы имеют глобальный характер и являются процессом приспособления планетарного вещества к длительным силовым воздействиям, таким как колебания оси вращения земли, ускорения и приливные волны в твердой оболочке Земли. Из области разрушения литосферных плит излучаются **объемные и поверхностные сейсмические волны**.

Наиболее интересны среди них поверхностные **волны Релея** (колебания перпендикулярно движению в вертикальной плоскости) и **Лява** («горизонтальные» колебания). Для поверхностных волн характерна сильная дисперсия скоростей, их интенсивность резко (экспоненциально) убывает с глубиной. Но поверхностные волны от сильных землетрясений «обегают» Землю несколько раз, соответственно многократно возбуждая колебания среды. Общее число сейсмических событий в год с магнитудой от 2 до 8 достигает  $10^6$ , **суммарный расход сейсмической энергии определяет**

ся порядком  $10^{26}$  эрг/год. Но на механическое разрушение породных масс, минеральные преобразования и тепловые эффекты трения в очаговых зонах ее расходуется примерно в 10 раз больше, чем на колебания земной поверхности. Энергия землетрясения с магнитудой порядка 4 составляет  $3,6 \times 10^{17}$  Дж, энергия землетрясения с  $M$  около 8,6 достигает  $3—5 \times 10^{24}$  эрг, энергия вулканического извержения  $10^{15}—10^{17}$  Дж, энергия ядерных и горно-эксплуатационных взрывов до  $2,4 \times 10^{17}$  Дж. Примером сейсмического «удара» и колебательного последствия являются подземные ядерные взрывы в Неваде в конце 1968 г. Сила взрывного удара здесь достигала 1 Мт ( $10^9$  кг ВВ); на поверхности вокруг проекции точки взрыва ( $r = 450$  м) наблюдалась интенсивная множественная механическая деформация породных масс; смещения по ранее известным разрывам были установлены в радиусе более 5,5 км; колебательное последствие (10 тыс. толчков с  $M = 1,3—4,2$ ) продолжалось несколько месяцев. В кратере от ядерного взрыва начальное ударное давление достигает 1000 Мбар, а температура за фронтом ударной волны – порядка  $10 \times 10^6$  градусов. При таких параметрах физические процессы и химические реакции протекают за наносекунды ( $10^{-9}$  с).

Через поверхность Земли постоянно теряется часть её внутреннего тепла. Суммарный тепловой поток, пересекает

мый поверхность Земли равен примерно,  $(4,2 - 4,5) 10^{20}$  эрг/сек, в среднем,  $4,3 \times 10^{20}$  эрг/с. Средний тепловой поток через континенты приблизительно равен  $1,43 10^{-6}$  кал/см<sup>2</sup>хс ( $60$  эрг/см<sup>2</sup>хс), а через океаническое дно –  $2,37 10^{-6}$  кал/см<sup>2</sup>с. Всего же через континенты теряется около  $1,2 10^{20}$  эрг/сек, а через океаническое дно в 2,5 раза больше – около  $3,1 \times 10^{20}$  эрг/сек [122]

Современные значения скорости генерации в мантии радиогенной и приливной энергий соответственно равны  $0,34 \times 10^{20}$  эрг/сек и  $0,02 \times 10^{20}$  Эрг/сек. Тогда по условию энергетического баланса находим, что генерация гравитационного дифференциала Земли, в пересчете на тепло, приблизительно равная  $2,76 \times 10^{20}$  эрг/сек.

**Гравитационная энергия, выделяемая на поверхности земного ядра, приблизительно в 50 раз превышает возможную энергию остывания ядра** и намного больше энергии магнитного поля.

Суммарный поток солнечной энергии на земную поверхность около  $1,75 10^{24}$  эрг/сек приблизительно в 4000 раз превосходит величину глубинного потока самой Земли ( $4,3 \times 10^{20}$  эрг/сек).

Тектоническая активность – возникновение в мантии крупномасштабных конвективных движений. В результате перемещения литосферных плит возникает комплекс гео-

логических процессов и явлений, и мы связываем с этим понятие тектонической активности Земли, например, землетрясения вулканическая деятельность, горообразование и др. Средняя скорость любых динамических (тектонических) процессов в недрах Земли относительных перемещений литосферных плит 4,5 – 5 см в год

Наиболее естественной мерой тектонической активности Земли является идущий из мантии глубинный тепловой поток, суммарное значение которого достигает  $3,39 \times 10^{20}$  эрг/сек.

Общая энергия вращения современной Земли, как известно, приблизительно равна  $2,1 \times 10^{36}$  эрг. [122]. Таким образом, кроме лунных приливов, всеми остальными факторами экзогенного воздействия на тектоническую активность Земли можно пренебрегать. Лунные же приливы, вносили заметный вклад в общий разогрев Земли только в катархее (т.е. ещё на догеологическом этапе её истории) и в раннем архее, послужив тем самым как бы спусковым механизмом, запустившим тектоническое развитие Земли. В остальное же время вклад лунных приливов в тектонику нашей планеты оставался достаточно скромным. Следовательно, тектоническая активность Земли начиная со времени 3,8 млрд лет назад, практически всегда питалась только эндогенной энергией.

Верхние слои геосферы Земли – её атмосфера, гидросфера, земная кора и даже литосфера находятся в постоян-

ном массообмене друг с другом. При этом не следует забывать, что эти внешние геосферы сформировались на Земле только благодаря действию эндогенных процессов дегазации и дифференциации земных недр. Однако существование на Земле жидкой фазы воды, комфортных климатических условий, высокоорганизованной жизни, развитие процессов выветривания горных пород, седиментогенеза, образования горючих и других экзогенных полезных ископаемых связаны исключительно с солнечным излучением. Однако если учесть, что энергия любых динамических (тектонических) процессов в недрах Земли в конце концов переходит в тепло, то наиболее естественной мерой тектонической активности Земли все-таки является идущий из мантии глубинный тепловой поток, суммарное значение которого сегодня достигает значений  $3,39 \times 10^{20}$  эрг/с [122].

# **Способы определения энергии и мощности сейсмических волн**

В результате проведенных выше сравнений и исследований было выявлено главное: **в древних пирамидах использовали сейсмические волны и связанными с ними гравитационные волны и магнитное поле**. При этом исследователи часто пишут, о том, что энергия сейсмических волн безгранична и неиссякаемая. В предыдущей главе о ВИЭ – возобновляемых источниках энергии указаны мизерные значения средней по поверхности сейсмической энергии. Теперь самое время найти реальные значения местной сейсмической энергии. При этом, следует учесть, что через тектонические разломы проходит 95% всей энергии.

**Начиная с раннего протерозоя скорость движения литосферных плит последовательно снижалась с 50 см/год до её современного значения около 5 см/год**. Снижение средней скорости движения плит будет происходить и далее, вплоть до того момента, когда благодаря увеличению мощности океанических плит и их трению друг о друга оно вообще не прекратится. Но произойдёт это, по-видимому, только через 1—1,5 млрд лет.

Мощность, достигающая верхнего слоя атмосферы Земли, в расчёте на один квадратный метр поверхности, обращённый к Солнцу, в дневное время составляет около



**1370 Вт в секунду**, а в среднем по всей планете равно четвертой части этой величины. Около 30% солнечного света, достигающего верхних слоёв атмосферы, отражается обратно в космос.

Приблизительно на две трети эта отражательная способность обусловлена облаками и мелкими частицами в атмосфере, известными как «аэрозоли». Светлые цветные участки Земли – в основном снег, лед и пустыни – отражают остальную треть солнечного света. Наиболее существенное изменение обусловленной аэрозолями отражательной способности имеет место, когда в результате извержений вулканов высоко в атмосферу выбрасываются различные материалы.

Дождь, как правило, вычищает аэрозоли из атмосферы за одну-две недели, но, когда в результате интенсивного извержения вулкана разные вещества выбрасываются выше самых высоких облаков, эти аэрозоли, как правило, влияют на климат в течение одного года или двух лет, и лишь потом выпадают в тропосферу и переносятся на поверхность с осадками. Поэтому сильные извержения вулканов могут вызывать падение средней глобальной температуры поверхности приблизительно на полградуса Цельсия, что может продолжаться месяцами и даже годами. Некоторые искусственные аэрозоли также существенно отражают солнечный свет.

Мощность, которая не отражается обратно в космос, по-

глощается поверхностью Земли и атмосферой. Это количество составляет около 240 ватт на квадратный метр.

# **Тектоническая активность в Египте и характеристика реки Нил**

Рассмотрим тектоническую активность в Египте и представим характеристику реки Нил, вокруг которой сосредоточены все пирамиды Египта.

**Нил пересекает Египет по всей длине**, и нет такого места, которое было бы удалено от Нила более, чем на 300 км [116]. Дельта Нила считается частью пассивного переднего края Африканской плиты вдоль юго-восточного средиземноморского побережья. Сейсмическая зона почти совпадает с современной средиземноморской прибрежной зоной, отделяющей нестабильный шельф от бассейновой области. Египет с территорией около 1 млн. км<sup>2</sup> находится в СВ углу Африки. Африканский континент считается стабильным районом, за исключением Восточно-Африканского рифта, который разветвляется в северной части Эфиопии к Красному морю и рифтам Аденского залива. В восточной части Египта рифты Красного моря разветвляются к Суэцкому заливу и заливу Акаба. В средиземноморском районе Африканская плита сталкивается с Евразийской плитой. Отсюда вытекает, что основные сбросы и поверхностные контуры, как правило, развиты по трем направлениям: красноморское (сз – юв), направление залива Акаба (ссв – ююз) и средиземноморское

направление (в-з).

**На карте на рис. 44 будут показаны тектонические разломы в Египте.** Река Нил поставляет около 97% годовых возобновляемых водных ресурсов в Египте. Среднее естественное течение Нила, достигающее района Асуан, составляет  $84,0 \text{ км}^3/\text{год}$ . Из этого числа, в соответствии с Нильским Водным Соглашением (1959), для Египта выделяется доля в 55,5 млрд.  $\text{м}^3/\text{год}$ . **Подземные воды содержатся в глубоких водоносных горизонтах** и являются не возобновляемыми водными ресурсами. Кроме того, в число альтернативных ресурсов входят сельскохозяйственное повторное дренирование воды, опреснение морской воды, повторное использование муниципальных сточных вод, сбор дождевой воды и опреснение солоноватых вод. Разработка подземных вод, которая оценивается в размере 1,65 млн.  $\text{м}^3/\text{год}$ , в основном сосредоточена в оазисе Западной пустыни. Объем повторного использования муниципальных сточных вод в настоящее время составляет порядка 2,9 млн.  $\text{м}^3/\text{год}$ , в то время как сельскохозяйственное повторное дренирование по прогнозам составляет около 9,7 млрд.  $\text{м}^3/\text{год}$  в долине и дельте Нила.

Подземные воды в Нильском водоносном горизонте и окраинах пустыни не являются ресурсами сами по себе, а пополняются из Нила посредством просачивания из каналов и глубокого просачивания из ирригационных систем. Го-

довой забор подземных вод из водоносного горизонта дельты и окраин Нила составляет около 4,6 млрд. м<sup>3</sup>. Еще 0,5 млрд. м<sup>3</sup> добывается из пустынных водоносных горизонтов и прибрежных районов. Ожидается, что забор подземных вод значительно возрастет до 11,4 млрд. м<sup>3</sup>.

Основные водоносные горизонты Египта – Нильский водоносный горизонт, относящийся к четвертичному и позднему третичному периодам, занимает пойму Нила и окраины пустыни; 2) Нубийский водоносный горизонт, относящийся к палеозойскому и мезозойскому периодам, занимает большую площадь Западной пустыни, а также частично Восточную пустыню и Синайский полуостров; 3) Могхрийский водоносный горизонт, относящийся к нижнему миоцену занимает в основном западный край дельты; 4) Прибрежный водоносный горизонт, относящийся к четвертичному и позднему третичному периодам, занимает северо-западное и восточное побережье; 5) Карбонатный водоносный горизонт, относящийся к эоцену и верхнему меловому периоду, преобладает в основном в северных и средних частях Западной пустыни; 6) Водоносный горизонт трещинных и выветренных твёрдых пород, относящийся к докембрийскому периоду, преобладает в Восточной пустыне и Синайском полуострове, является возобновляемым, лежит в основе дельты Нила и характеризуется высокой производительностью и малой глубиной залегания грунтовых вод, позволяя добывать боль-

шие количества воды (100 м<sup>3</sup> /час) при низкой стоимости откачки воды.

Водоносный горизонт дельты Нила является одной из самых ранних известных дельт в мире. Термин «дельта» был впервые предложен греческим историком Геродотом около 450 г. до н.э. при описании аллювиальных отложений в устье реки Нил. Дельта Нила не только самая древняя известная дельта, но также самый большой и важный осадочный комплекс в Средиземноморском бассейне.

Кроме того, это единственное место в Египте, благоприятное для накопления и сохранения отложений четвертичного возраста.

Средний уровень осадков в дельте очень низок и варьируется от 25 мм/год-1 на юге и в центральной части дельты до 200 мм/год-1 на севере. Другим значительным фактором, оказывающим влияние на пополнение главного водоносного горизонта, является уровень воды в оросительных каналах. Также уровень воды является важным фактором при моделировании подземных вод, так как он влияет на взаимодействие поверхностных и грунтовых вод. Обзор научной литературы показывает, что в большинстве исследований на моделях было представлено среднее значение уровня воды в каналах.

С другой стороны, уровень воды в каналах меняется от месяца к месяцу, а также в разных секторах канала, что следует принимать во внимание для более точного представ-

ления взаимодействия между водоносным горизонтом и поверхностными водами в дельте.

Существуют серьёзные экологические проблемы в бассейне реки Нил и её подземных водных ресурсах. В последние годы появились научные доказательства изменения климата и обусловленного экономическим развитием воздействия на окружающую среду в глобальном масштабе, а также на территории Египта. Некоторые последствия не слишком заметны, такие как снижение уровня воды в реке Нил, другие же намного более заметны, например, засоление всей прибрежной земли дельты Нила – сельскохозяйственного центра Египта. Эти последствия стали печальной действительностью, вызванной многими связанными между собой проблемами надзора за подземными водами. При изучении климатических изменений также выделяют влияние подъёма уровня Мирового океана на увеличившееся вторжение морской воды. В дельте Нила экстенсивный забор подземных вод также является значительным фактором, увеличивающим вторжение морской воды. В водозаборных скважинах, которые раньше были за пределами зон засоления, впоследствии происходит образование водяного конуса солёной или солоноватой воды. В действительности, это считается самой серьёзной причиной вторжения морской воды в развивающихся странах. Литология водоносного горизонта дельты Нила четвертичного возраста была изучена многими авторами, такими как Аттия, Риццини, Саид [51].

# Расчеты энергии и мощности землетрясений в Мексике и Калифорнии

При расчете для Мексики будем исходить из ширины тектонического разлома в  $B_{\text{разл}} = 50$  км. Ранее было отмечено другими авторами, что через тектонический разлом проходит 95% всей энергии, поэтому этот коэффициент  $K_c = 0,95$  будет далее учтен. Величину энергии по магнитуде находим из графика на рис. 69. Длину разлома для Сан-Андреас составляет 1280 км, тогда её площадь равна  $50 \bullet 1280 = 6,4 \bullet 10^4 \text{ км}^2$  или  $6,4 \bullet 10^{10} \text{ м}^2$ . Расчет по площади очага землетрясения для Мексики проводится по-другому, нижнему графику на рис. 30А, соответствующего Калифорнии, расположенной через Калифорнийский залив рядом с Мексикой.



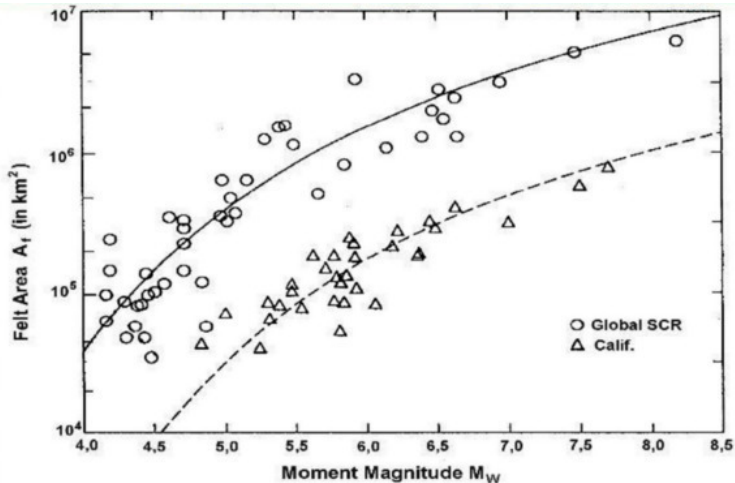


Рис. 30А. Область очага землетрясения [134]

Рис. 30А. Область очага землетрясения [124]. Верхняя кривая – усредненная для всего мира, нижняя пунктирная кривая – для Калифорнии.

Таблица 14. Соответствие магнитуды, энергии и мощности для случая подсчета по величине очага сейсмической активности в Мексике.

Магнитуда	Площадь очага в м <sup>2</sup>	Энергия в Дж/эрг	Энергия в Дж на м <sup>2</sup>	Мощность Вт на м <sup>2</sup>
5	$4 \cdot 10^{10}$	$10^{11}/10^{18}$	2,5	2,5
5,5	$8,5 \cdot 10^{10}$	$6 \cdot 10^{12}/6 \cdot 10^{19}$	70,59	70,59
6	$2 \cdot 10^{11}$	$5 \cdot 10^{13}/5 \cdot 10^{20}$	250,0	250,0
6,5	$4,5 \cdot 10^{11}$	$3 \cdot 10^{14}/3 \cdot 10^{21}$	666,7	666,7
7	$7 \cdot 10^{11}$	$9,5 \cdot 10^{14}/9,5 \cdot 10^{21}$	1357,1	1357,1
7,5	$8,5 \cdot 10^{11}$	$6 \cdot 10^{15}/6 \cdot 10^{22}$	7058,8	7058,8
8,0	$10^{12}$	$3 \cdot 10^{16}/3 \cdot 10^{23}$	30000	30000

Таблица 15. Соответствие магнитуды, энергии и мощности для случая подсчета по площади тектонических разломов в Мексике.

Магнитуда	Площадь очага в м <sup>2</sup>	Энергия в Дж/эрг	Энергия в Дж на м <sup>2</sup>	Мощность Вт на м <sup>2</sup>
5	$6,4 \cdot 10^{10}$	$10^{11}/10^{18}$	1,562	1,562
5,5		$6 \cdot 10^{12}/6 \cdot 10^{19}$	93,74	93,74
6		$5 \cdot 10^{13}/5 \cdot 10^{20}$	781,2	781,2
6,5		$3 \cdot 10^{14}/3 \cdot 10^{21}$	4687,4	4687,4
7,0		$9,5 \cdot 10^{14}/9,5 \cdot 10^{21}$	14843,8	14843,8
7,5		$6 \cdot 10^{15}/6 \cdot 10^{22}$	93750	93750
8,0		$3 \cdot 10^{16}/3 \cdot 10^{23}$	$4,68 \cdot 10^5$	$4,68 \cdot 10^5$

Теперь сравним с энергией солнца на поверхности Земли. Мощность солнечного излучения по литературным данным [130] и др., составляет от 1353 Вт на м<sup>2</sup> до 250 Вт на м<sup>2</sup> в зависимости от места и времени суток.

Таблица 16. Сравнение возобновляемых источников энергии (ВИЭ) за счет сейсмического воздействия в Мексике (и Калифорнии) с солнечным излучением

Вид энергии	Источник информации и способ определения	Мощность, Вт на м <sup>2</sup>
Солнечное излучение днем в зените	[259] и др.	1350 - 1367
Солнечное излучение в Египте над морем, днем	[259] и др.	1020
Солнечное излучение в средней полосе летом днем	[259] и др.	800
Солнечное излучение в средней полосе зимой днем	[259] и др.	250 - 300
Сейсмическое воздействие	Интегральное воздействие по всей планете	$6,2 \cdot 10^{-4}$
Сейсмическое воздействие	Воздействие по очагам, расчет ведется по нижнему графику на рис.. (стр. 70)	2,5 для магнитуды 5,0 70,59-для магнитуды 5,5 250,-для магнитуды 6,0 666,7-для магнитуды 6,5 1357,1-для магнитуды 7,0 7058,8-для магнитуды 7,5 30000- для магнитуды 8,0
Сейсмическое воздействие	Воздействие в тектонических разломах	1,562-для магнитуды 5,0 93,74- для магнитуды 5,5 781,2-для магнитуды 6,0 4687,4-для магнитуды 6,5 14843,8-для магнитуды 7,0 93750-для магнитуды 7,5 $4,6 \cdot 10^5$ -для магнитуды 8,0

**Полученные результаты поражают! Мощность сейсмического воздействия в области тектонических разломов Мексики и Калифорнии при магнитуде в 7 – 8 настолько велика, что превышает мощность солнечного излучения от 10 до 340 раз! Теперь становится по-**

нятным, почему ученые пишут о том, что энергия, которую могут принять древние пирамиды колоссальна! В данном случае показано на цифрах, насколько это справедливо!

Следует уточнить, почему можно считать по глобальному разлому Сан-Андреас, проходящий по Калифорнийскому заливу. Во-первых, то самый крупный мировой разлом. Во-вторых, он проходит одинаково близко от Калифорнии и Мексиканского побережья. В-третьих, этот разлом в зоне Мексики, находится в воде, следовательно, сейсмический сигнал будет проходить по воде, а как было показано в гл. 15, затухание сейсмических волн в воде в диапазоне от 1 до 50 Гц незначительно и составляет не более 10% для расстояния до 3000 км. В данном случае это расстояние в десятки раз меньше, следовательно и затухание существенно меньше.

Одновременно с этим, становится понятной таблица, представляющая собой сравнение ВИЭ – возобновляемых источников энергии. Если сравнить эту таблицу с табл.5 и табл. 6 по прежним литературным данным, то очевидно, что ранее не учитывали такой мощный фактор, как энергия в тектонических разломах. По существу, эта таблица представляет собой новую возможность по использованию мощного источника ВИЭ.

Кроме того, данные этой табл. 16 подтверждают на цифрах тот факт, что древние пирамиды совершенно не случайно расположили в местах тройной силы:

- на энергетической сетке Хартмана, на сетке Курри,
- на энергетической Русской сетке,
- в местах тектонических разломов.

Такая установка древних пирамид позволяет пропускать через пирамиды настолько большие энергии, что они могут обратно воздействовать на сейсмическую обстановку и подавлять полностью или частично катастрофы.

# Соотношение мощности, извлекаемой от солнечного излучения и от упругих волн Земли

Автор в своих книгах [2, 4] дал расчеты по извлекаемой мощности из Земли в местах тектонических разломов и в местах прохождения энергетической сетки ИДСЗ, или Русской сетки. Вот основные результаты этих расчётов.

Имеются три тектонических разлома, охватывающих Египет и соседние страны, включая Нил и залив Акаба. Подсчитаем площадь тектонических разломов в Египте и в окружающих странах по карте.

Всего три разлома, их площадь:

- для 1 разлома – примерно,  $10 \cdot 100 \cdot 120 = 120000 \text{ км}^2$ ,
- для 2 разлома – примерно,  $10 \cdot 100 \cdot 100 = 100000 \text{ км}^2$
- для 3 разлома – примерно,  $3 \cdot 100 \cdot 70 = 21000 \text{ км}^2$

Сумма всех трех тектонических разломов равна, оценочно,  $241 \cdot 10^3 \text{ км}^2$  или  $2,41 \cdot 10^{11} \text{ м}^2$

Через тектонический разлом проходит 95% всей энергии, поэтому этот коэффициент  $K_c = 0,95$  будет учтен в следующей табл. 10.

Теперь сравним с энергией Солнца на поверхности Земли. Мощность солнечного излучения по литературным дан-

ным [131] и др., составляет от 1353 Вт на м<sup>2</sup> до 250 Вт на м<sup>2</sup> в зависимости от места и времени суток.

Теперь сравним с энергией солнца на поверхности Земли. Мощность солнечного излучения по литературным данным [131] и др., составляет от 1353 Вт на м<sup>2</sup> до 250 Вт на м<sup>2</sup> в зависимости от места и времени суток.

Такая установка древних пирамид **позволяет пропускать через пирамиды настолько большие энергии, что они могут активизировать кристаллы** и другие пьезоматериалы, **обратно** воздействовать на сейсмическую обстановку и подавлять полностью или частично катастрофы.

# Термоэлектрические явления

Термоэлектрические явления [145]:

- эффект Зеебека,
- эффект Пельтье,
- эффект Томпсона
- эффект Эттинсгаузена

**Термоэлектродгенератор** – это техническое устройство (электрический генератор), предназначенное для прямого преобразования тепловой энергии в электричество посредством использования в его конструкции термоэлементов (термоэлектрических материалов).

В 1821 году немецкий физик Томас Иоганн Зеебек обнаружил, что **температурный градиент, образованный между двумя разнородными проводниками, может производить электричество**. В 1822 году он опубликовал результаты своих опытов в статье «К вопросу о магнитной поляризации некоторых металлов и руд, возникающей в условиях разности температур», опубликованной в докладах Прусской академии наук. В **основе** термоэлектрического эффекта **Зеебека** лежит тот факт, **что температурный градиент в токопроводящем материале вызывает тепловой поток**; это приводит к переносу носителей заряда. Поток носителей заряда между горячими и холодными областями, в свою очередь, создает разность потенциалов.



В 1834 году Жан-Шарль Пельтье обнаружил обратный эффект, при котором происходит выделение или поглощение тепла при прохождении электрического тока через контакт двух разнородных проводников.

### **Типы применяемых термоэлектрогенераторов.**

**Топливные:** тепло от сжигания топлива (природный газ, нефть, уголь) и тепло от горения пиротехнических составов (шашек).

**Радиоизотопные:** тепло от распада изотопов (распад не контролируется и работа определяется периодом полураспада).

**Атомные:** тепло атомного реактора (уран-233, уран-235, плутоний-238, торий), как правило, здесь термоэлектрогенератор – вторая и третья ступень преобразования.

**Солнечные:** тепло от солнечных коллекторов (зеркала, линзы, тепловые трубы).

**Утилизационные:** тепло из любых источников, выделяющих сбросное тепло (выхлопные и печные газы, тепло керосиновых ламп и др.).

**Градиентные:** основанные на естественном перепаде температур между окружающей средой и помещением (оборудованием, технологическим трубопроводом с теплой транспортируемой средой и т.д.) с применением первоначально пускового тока. В основе данного типа термоэлектрогенераторов – использование части полученной электрической энергии от эффекта Зеебека для преобразования в тепловую

по закону Джоуля-Ленца.

Термосифонные: использование естественного тепла земли или воды, в случае отрицательных наружных температур. Тепловая энергия земли, посредством термосифона, установленного в скважину, доставляется к термоэлектрическому генератору, оборудованному радиатором с воздушным обдувом. За счет разницы температур генерируется электрическая энергия.

# Резонансные свойства пирамид

Джон Тейлор писал о Великой пирамиде [51], что она построена для того, чтобы производить измерение Земли. Джон Тейлор пришел к заключению, что периметр пирамиды Хеопса напоминает окружность нашей планеты на экваторе. Высота бы являлась расстоянием от центра Земли до ее полюсов.

Пиацци Смит поддерживал Джона Тейлора и часто с ним общался. После кончины Тейлора, последовавшей в 1864 году, Смит удалось подтвердить его расчеты, а также его предположение относительно связи между пирамидой Хеопса и Землей: «Здесь, видимо, существует еще боже удивительная соразмерность, между весом Великой пирамиды и весом нашей планеты Земля. Вес Великой пирамиды соотносится с весом Земли. По расчетам Смита, вес пирамиды составляет 5 273 384 тонны, вес же Земли – 5 273 000 000 000 000 000 000 тонн. Следовательно, **вес Земли равен  $10^{15}$  целого числа веса пирамиды Хеопса.** Поражаешься, когда читаешь в опубликованных в 1883 году Питри результатах измерений пирамиды Хеопса следующее: «В общем, нам, вероятно, не удастся более точно измерить средний угол Великой пирамиды, чем  $51^{\circ}51\pm 2$ », несколько сместив его к югу. Средняя величина основания

равна  $9068,8 \pm 0,5$  дюйма, следовательно, высота составляет  $5776,0 + 7,0$  дюйма.

В подтверждение его слов Уильям Фикс представил обоснованные и объективные доказательства: «Мы знаем, что кому-то в очень глубокой древности были почти точно известны размер и форма Земли. Три основных размера Земли присутствуют в размерах Великой пирамиды. **Периметр пирамиды равен половине минуты экваториальной широты. Периметр углублений равен половине минуты экваториальной широты, то есть  $\frac{1}{43200}$  длины земной окружности. Высота пирамиды вместе с платформой равна  $\frac{1}{43200}$  полярного радиуса Земли.** Нам не известно, как они измерили его, но то, что им это удалось, сейчас является фактом».

**Важно обратить внимание на отчетливую связь, существующую между пирамидой Хеопса и Землей.**

Когда мы спрашиваем, почему существует связь между земными размерами и пирамидой Хеопса, то получаем три логических и разных объяснения. Первое состоит в том, что строители хотели показать, что им известны размеры нашей планеты. **Второе вероятное объяснение таково: Земля влияла на функционирование пирамиды Хеопса. Включение основных измерений планеты в пирамиду повысило ее эффективность, и в результате она смогла стать одним гармоничным целым с нашей плане-**

**той.**

Нам известно, что Земля представляет собой колеблющееся активное тело, в недрах которого копятся громадные силы, однажды вырывающиеся наружу и освобождающие массу энергии. С нашей стороны было бы уместно спросить: «Как бы нам использовать данную энергию в своих целях?» Существует ли способ отвода части энергии, уменьшающий таким образом ее мощь и, вероятно, предотвращающий разрушительное землетрясение? Ученые продемонстрировали нам, что **один объект способен, в меньшем масштабе, отвести энергию из другого колеблющегося объекта при условии, что частоты их колебаний гармоничны.** Однако забрать механическую энергию из Земли задача чудовищно сложная. Каким же требованиям должен отвечать используемый нами объект, чтобы она оказалась нам по силам?

Прежде чем ответить на эти вопросы, нам следует рассмотреть сведения о резонансе и гармониках, ибо это именно те природные явления, которые потребуются нам при выполнении данной задачи. **Резонанс – это индуцированное колебание одного объекта с другим.** Простым примером резонанса является пианино. Нажмите одну или несколько клавиш, образующих аккорд, не ударяя, а затем надавите на педаль громкости. Сыграйте те же ноты на октаву выше, и струны, оставленные вами открытыми на нижней октаве, тоже начнут колебаться. Напойте без слов в пианино

на той же самой высоте, и струны вновь станут вибрировать. Этот переход энергии происходит благодаря резонансу. Передача энергии и колебания нераздельны. Струны музыкального инструмента под воздействием начинают колебаться, и энергия в виде звуковых волн поступает к нашим ушам.

**Гармоникой называют явление, когда распространяющийся в воздухе звук вызывает механические колебания в разных струнах пианино, причем частота колебаний различна.** Элементы (струны) поглощают энергию из источника лучше, если они одной частоты. **Кратные основной частоте возбуждения, известные как гармоничные частоты, тоже неплохо поглощают эту энергию.**

Следовательно, для того, чтобы вызвать механические колебания и избавиться от давления, накопившегося внутри Земли, нам необходим объект, частота которого резонировала бы с основной частотой нашей планеты. Этот объект должен быть таким, чтобы его собственная резонансная частота была такой же либо гармонична земной. В этом случае переход энергии из источника прошел бы при максимальной нагрузке. Тогда данный объект, возможно, превратился бы в сопряженный осциллятор. (Это объект, резонирующий с другим, обычно более крупным колеблющимся объектом. Действующий сопряженный осциллятор поглощает энергию из источника и колеблется, пока колеблется источник.)

Поскольку Земля постоянно порождает широкий спектр колебаний, мы могли бы использовать их в качестве источника энергии, если бы обладали соответствующей технологией. Помня об этом и зная, что пирамида Хеопса является математическим целым числом Земли, можно предположить, **что пирамида способна вибрировать на основной частоте и на гармониках Земли.**

Последующие эксперименты, проведенные Толлом Дэнли в Царской камере пирамиды Хеопса и в камерах над Царской камерой, позволяют предположить, что эта пирамида была построена для акустики. Дэнли обнаружил четыре местные частоты, или ноты, усиливаемые конструкцией пирамиды и материалами, использованными при ее строительстве. Ноты от фа-диез, которые по древнеегипетским текстам являлись гармоникой нашей планеты. Более того, опыты Дэнли свидетельствуют о том, что эти частоты присутствуют в Царской камере даже тогда, когда туда не поступает никаких звуков. Они там, и их частота колеблется от 16 до  $1\frac{1}{2}$  герца, значительно ниже нашего восприятия. По мнению Дэнли, эти колебания вызваны ветром, дующим по краям так называемых шахт — точно так же возникает звук, когда кто-то дует поверх горлышка бутылки.

Указанный диапазон от 16 Гц до 0,5 Гц, относится к эффективному в спектре сейсмического сигнала, следовательно, настройка в резонанс на эти частоты, усиление по амплитуде на этих частотах, поворот на по фазе на  $180^\circ$  и дальней-

шее вычитание из сейсмически опасного сигнала, благоприятно воздействует на уменьшение землетрясений.

Дэнли предложил интересную теорию, согласно которой источником инфразвука является ветер, но у автора статьи закралось подозрение, что он что-то скрывает. Быть может, при помощи приборов он установил, что **источником звука является Земля**, однако по условиям соглашения вынужден утаивать эту информацию? Почему появились сомнения? Дело в том, что внутри входа в шахты, о которых говорит Дэнли, были установлены вентиляторы, а в западной стене коридора, ведущего к царской погребальной камере, пробурен проход в северную шахту, где на протяжении нескольких футов отсутствует стенка, – все это исключает возможность возникновения колебаний в Царской камере, вызванных эффектом «бутылки кока-колы». Кроме того, вентиляторы были установлены для удаления избыточного тепла и влажности и вывода воздуха из камер через шахты наружу. Вот почему автор статьи задает вопрос, **не является ли самым вероятным источником звука в царской погребальной камере сама Земля.**

Как же заставить вибрировать каменный массив весом 5 273 834 тонн? На первый взгляд эта задача представляется невыполнимой. Тем не менее не так давно на Земле жил человек, который утверждал, что ему это по силам! Никола Тесла, физик и изобретатель, обладатель более шестисот патентов, создал устройство, названное им «сейсмическая ма-



шина». Он утверждал, что способен разрушить здание при помощи колебаний, частота которых совпадает с резонансной частотой указанного здания. Ученый Том Берден в научном докладе, представленном в 1988 году в международное общество Тесла, пошел дальше Теслы в изучении Земли как источника энергии и предложил, что «для получения огромной энергии всего-то и надо, что запустить в недра Земли „сетчатый сигнал“ и получить в ответ „пластинчатый сигнал“.

**Стоячая S-волна постоянно пополняется за счет сейсмической энергии из Земли, поэтому энергию можно черпать постоянно».**

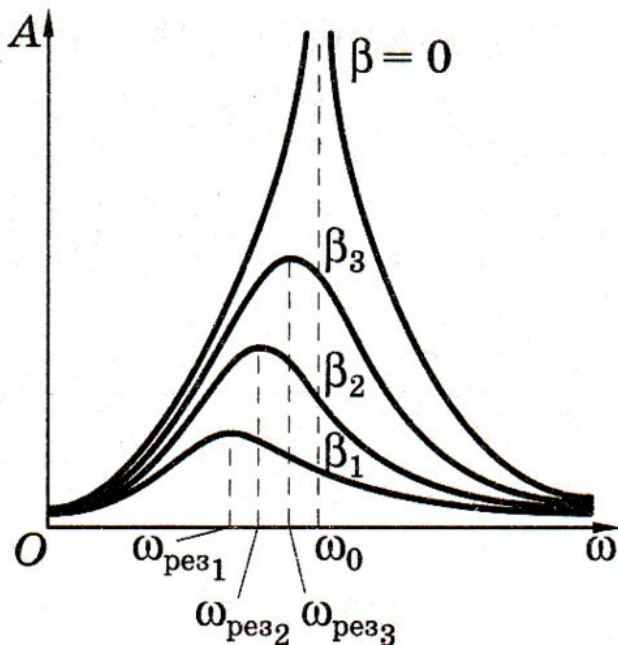


Рис. 30. Резонансные кривые [52]

Резонансные кривые отличаются друг от друга амплитудой и формой – рис. 30. Изменение резонансной частоты зависит от среды, или от материала пирамиды, определяемого коэффициентом  $\beta$ . В свою очередь этот коэффициент связан с добротностью, при  $\beta=0$ , добротность максимальна. Реально, в пирамиде применены слои из разных материалов: известняка, песчаника, гранита и других. Если нужно уве-

личить или уменьшить резонансную частоту, то можно подобрать нужный материал. Каждая из резонансных кривых обладает своим коэффициентом затухания и добротностью. Чем выше добротность, тем уже спектр и больше по амплитуде  $A$ .

**Стоячие волны в помещении** [51]. Влияние параллельности стен на акустику помещения заключается в том, что прямоугольная комната представляет собой трехмерный резонатор. В качестве одномерного резонатора можно себе представить узкую трубу, закрытую с двух сторон. Если возле одной из сторон поместить источник синусоидальных колебаний, то вдоль трубы со скоростью звука будет перемещаться синусоидальная звуковая волна, отражаясь от закрытых стенок.

Поместим возле другой стенки трубы микрофон. Изменяя частоту генератора, можно заметить, что при изменении частоты амплитуда звука, фиксируемая при помощи микрофона, то нарастает, то падает почти до нуля. То есть труба демонстрирует амплитудно-частотную характеристику, по виду напоминающую гребенку, причем каждый ее зубец представляет собой акустический резонанс.

Резонанс образуется, если длина трубы кратна половине длины волны возбуждаемых колебаний. **Это явление носит название гребенчатой фильтрации.**

Прямоугольное помещение с физической точки зрения ведет себя точно так же, как закрытая с двух сторон труба.

Разница лишь в том, что в трубе всего одно (аксиальное) направление распространения звуковых волн, тогда как в прямоугольном помещении их неисчислимо количество, причем во многих из них возникают акустические резонансы. Волны, создающие резонансы, подразделяют на три категории.

К первой категории относятся осевые (аксиальные) волны. Их подразделяют на три класса: продольные, поперечные и вертикальные. Звуковые волны каждого из этих классов отражаются только от двух противоположных стен (или от потолка и пола). Ко второй категории относятся касательные волны, которые распространяются, последовательно отражаясь от четырех стен. Последняя категория – так называемые косые волны, отражающиеся последовательно от всех шести ограждающих поверхностей.

Очевидно, что бороться с самим фактом возникновения резонансов в помещении тяжело, а зачастую и не нужно – если резонансы расположены в заданной полосе частот близко друг к другу и равномерно, то форма сигнала в этой полосе частот передается практически без искажений.

**Физик-теоретик Филипп Морз вывел формулу для подсчета количества резонансных частот в заданном диапазоне частот в зависимости от объема и линейных размеров помещения [44], откуда видно, что количество резонансов помещения, приходящихся на одну и ту же полосу частот, с понижением частоты существенно умень-**

шается. Морз подсчитал, сколько в помещении должно быть резонансов в заданном интервале частот для того, чтобы без заметных искажений нести форму звука длительностью порядка 0,1 с. **Результат его расчетов таков: в интервале  $\Delta f = 10$  Гц должно быть не менее 10 резонансов.**

Если механическая волна, распространяющаяся в среде, встречает на своем пути какое-либо препятствие, то она может резко изменить характер своего поведения. Например, на границе раздела двух сред с разными механическими свойствами волна частично отражается, а частично проникает во вторую среду. Волна, бегущая по резиновому жгуту или струне отражается от неподвижно закрепленного конца; при этом появляется волна, бегущая во встречном направлении. В струне, закрепленной на обоих концах, возникают сложные колебания, которые можно рассматривать как результат наложения (суперпозиции) двух волн, распространяющихся в противоположных направлениях и испытывающих отражения и переотражения на концах. Колебания струн, закрепленных на обоих концах, создают звуки всех струнных музыкальных инструментов. Очень похожее явление возникает при звучании духовых инструментов, в том числе органных труб.

Если волны, бегущие по струне во встречных направлениях, имеют синусоидальную форму, то при определенных условиях они могут образовать стоячую волну.

Пусть струна длины  $l$  закреплена так, что один из ее кон-

цов находится в точке  $x = 0$ , а другой – в точке  $x_1 = L$  (рис. 31). В струне создано натяжение  $T$ .

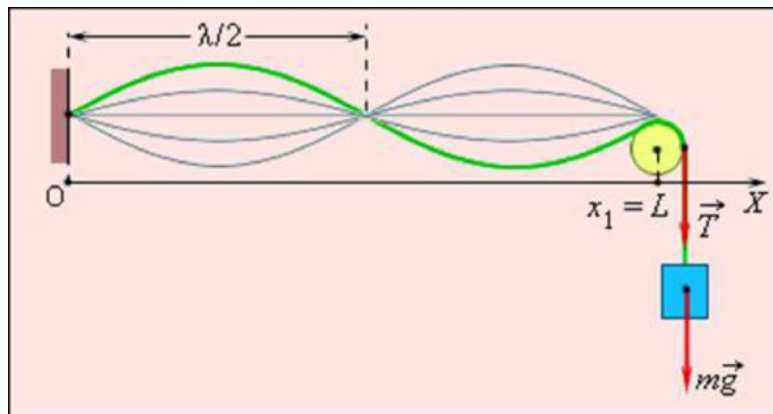


Рис. 31. Образование стоячей волны в струне, закрепленной на обоих концах [53]

Рис. 31.

По струне одновременно распространяются в противоположных направлениях две волны одной и той же частоты:

$y_1(x, t) = A \cos(\omega t + kx)$  – волна, бегущая справа налево;

$y_2(x, t) = -A \cos(\omega t - kx)$  – волна, бегущая слева направо.

В точке  $x = 0$  (один из закрепленных концов струны) падающая волна  $y_1$  в результате отражения порождает волну  $y_2$ . При отражении от неподвижно закрепленного конца отраженная волна оказывается в противофазе с падающей.

Согласно принципу суперпозиции, который является экспериментальным фактом, колебания, вызванные встречными волнами в каждой точке струны, складываются. Таким образом, результирующее колебание в каждой точке равно сумме колебаний, вызванных волнами  $y_1$  и  $y_2$  в отдельности. Следовательно,

Это и есть стоячая волна. В стоячей волне существуют неподвижные точки, которые называются узлами. Посередине между узлами находятся точки, которые колеблются с максимальной амплитудой. Эти точки называются пучностями.

Оба неподвижных конца струны должны быть узлами. Приведенная выше формула удовлетворяет этому условию на левом конце ( $x = 0$ ). Для выполнения этого условия и на правом конце ( $x = L$ ), необходимо чтобы  $kL = n\pi$ , где  $n$  – любое целое число. Это означает, что **стоячая волна в струне возникает не всегда, а только в том случае, если длина  $L$  струны равняется целому числу длин половин:  $l = n (\lambda_n/2)$   $\lambda_n = 2l/n$  ( $n = 1, 2, 3, \dots$ )**

Набору значений  $\lambda_n$  длин волн соответствует набор возможных частот  $f_n$ :

$$f_n = v / \lambda_n$$

где  $v = \sqrt{T/\mu}$  — скорость распространения поперечных волн по струне. Каждая из частот  $f_n$  и связанный с ней тип колебания струны называется нормальной модой. Наимень-

шая частота  $f_1$  называется основной частотой, все остальные ( $f_2, f_3, \dots$ ) называются гармониками. На рис. 32 изображена нормальная мода для  $n = 2$ , а на рис. 33 показаны гармоники.

В стоячей волне нет потока энергии. Колебательная энергия, заключенная в отрезке струны между двумя соседними узлами, не транспортируется в другие части струны. В каждом таком отрезке происходит периодическое (дважды за период  $T$ ) превращение кинетической энергии в потенциальную и обратно как в обычной колебательной системе. Но в отличие от груза на пружине или маятника, у которых имеется единственная собственная частота

$$f_0 = \omega_0/2\pi$$

струна обладает бесконечным числом собственных (резонансных) частот  $f_n$ . В соответствии с принципом суперпозиции стоячие волны различных типов (т. е. с разными значениями  $n$ ) могут одновременно присутствовать в колебаниях струны.

Добротность – параметр колебательной системы, определяющий ширину резонанса и характеризующий, **во сколько раз запасы энергии в системе больше, чем потери энергии за один период колебаний**.

Добротность  $Q$  колебательной системы равна отношению энергии, запасенной в системе к убыли этой энергии за один период колебания.

$$Q = 2\pi \cdot W(t) / \Delta W(t+T) \quad (20)$$

$$Q = \omega_0 W / P_d = 2\pi f_0 W / P_d \quad (21)$$



где  $\omega_0$  – резонансная круговая частота колебаний,  
 $f_0$  – резонансная частота колебаний,  
 $W$  – энергия, запасенная в колебательной системе,  
 $P_d$  – рассеиваемая мощность.

Стоячие волны показаны на рис. 32. По существу, это графическое отображение принципа резонансной кратности

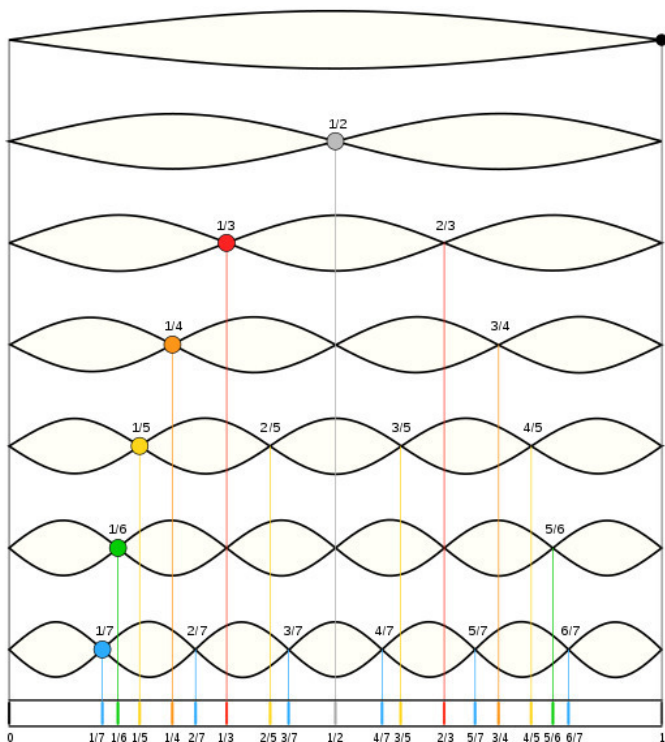


Рис. 32. Стоячие волны [54]

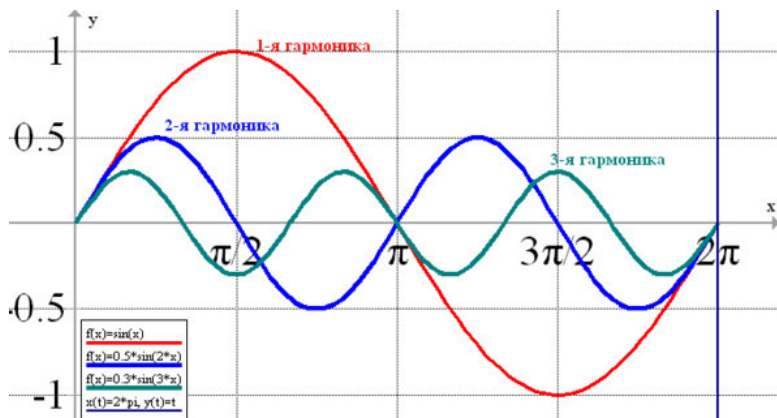


Рис. 33. Гармоники [55]

# **Резонансы в условиях генерации волн и образования стоячих волн в конструкциях пирамид с воздушным пространством**

Тематика древних пирамид – одна из самых распространенных в мире, так как нет других сохранившихся официальных чудес на свете, кроме Великой пирамиды. Написано много книг, практически, во всех странах мира по этому направлению. Естественно, воспользоваться накопленными знаниями. Непосредственно по теме защиты пирамидами Землю от катастроф, автором книг не обнаружено. Однако есть статьи по данному направлению.

Кроме того, есть полное описание генераторов и интерфейсов с применением инфразвуковых колебаний, а сейсмический сигнал, как раз и является разновидностью инфразвука, так как его диапазон (до 16 Гц) входит в состав диапазона сейсмических волн.

Среди этих работ выделяется своей полнотой и подробностью описание резонансных свойств инфразвукового широкополосного виброакустического интерфейса ШИРОКО (SCIROCCO) автора Владимира Яшкардина, опубликованное 20.02.2013 г и с окончательной версией от 25.04.2015 г [56].

Этот интерфейс описан, как работающий от ветра, поэтому и назван виброакустическим. Однако, при внимательном изучении этого интерфейса, оказывается, что он подходит по всем параметрам для работы от сейсмосигнала.

Не стану спорить, работа от ветра возможна, но эта версия не является главной. В криминалистике главной версией считают ту, у которой имеется наибольшее число совпадающих признаков, т.е. в которой все имеющиеся признаки используются и выстроены последовательно в ряд. Так вот, **В. Яшкардин, опубликовав свою работу, даже не подозревал, что она по большему числу признаков подходит не для ветра, а для сейсмических волн. Вот главные аргументы или признаки:** резонансы в пирамиде, такие как 12,25 Гц и другие, близкие совпадают с максимальными линиями спектра сейсмической волны. В то же самое время, в спектре ветра имеют частоты значительно ниже, не совпадающие с этими резонансами. Кроме того, важнейшим аргументом в пользу версии использования сейсмического сигнала, является **размещение древних пирамид в области тектонических разломов, где огромно сейсмическое излучение!**

**Пирамида фокусирует звуковую энергию, которую она получает с мембран, на скалу, находящуюся под её основанием. Примечание автора А. Матанцева. Данный момент особенно важен. Преобразованный сейсмический инфразвуковой сигнал подается под её ос-**

**нование, т.е. обратно возвращается в почву, усиленный по амплитуде и перевернутый по фазе. В почве этот преобразованный сигнал вычитается из первичного сейсмически опасного сигнала и, таким образом, путем интерференции, происходит подавление или уменьшение землетрясений.**

Резонатор высокой добротности поддерживает рабочую частоту с высокой точностью. Рупорная форма пирамиды фокусирует всю собранную звуковую энергию на каменный монолит под основанием пирамиды. Это, в свою очередь, ещё больше раскачивает пирамиду. Теперь энергия сейсмосигнала напрямую потребляется движущейся пирамидой. Тело пирамиды становится широкополосным (низко добротным) усилителем сигнала.

Основная мощность волнового сигнала начинает распространяться по поверхности планеты со скоростью от 1500 до 5500 м/с. Внутри пирамиды нет воздушных потоков, ветра, тяги.

Три модели передатчиков энергии.

Сегодня на плато Гизы находятся три генератора, использующих инфразвуковой генератор. Они действуют по общему принципу и предназначены для создания инфразвуковой волны в грунте и воде. Генераторы построены в разное время и являются одной модифицированной серией. Порядок постройки генераторов:

1. Пирамида Хефрена.

2. Пирамида Хеопса.

3. Пирамида Микерина.

Пирамида Хеопса представляет **усовершенствованный передатчик энергии на 7 (13) частот**. Она способна одновременно генерировать 7 (13) инфразвуковых частот, которые могут включаться с переключателя ПОС. Несущая частота передатчика 12,25 Гц с тональным набором и глубиной модуляции по частоте набора  $\pm 33\%$

Автор этой книги обращает внимание на величину несущей частоты передатчика в 12,26 Гц. Если посмотреть на реальный спектр сейсмического сигнала, показанный на рис. 11, то из него видно, что данная частота находится в области максимальной амплитуды спектра (на данном спектре эта область занимает частоты от 12 до 24 Гц). Таким образом, возможно вычитание из спектра опасного сейсмического сигнала нескольких больших составляющих.

Рассмотрим более подробно один из трёх передатчиков энергии с плато Гизы – пирамиду Хеопса.

Технические характеристики передатчика пирамиды Хеопса:

- вес передатчика:  $6,25 \cdot 10^9$  кг;
- габариты: 230x230x146 м;
- несущая частота: 12.25 Гц;
- глубина модуляции:  $12.25 \pm 33\%$  Гц (или от 8,2 Гц до 16,3 Гц);
- длина волны несущей частоты: 28 м (в воздухе скорость

звука 343 м/с), 498 м (мрамор скорость звука 6100 м/с), 368 м (бетон, скорость звука 4500 м/с), 314 м (в граните скорость звука 3850 м/с), 294 м (кирпич, скорость звука 3600 м/с);

– частота каменного резонатора номинальная: 196/98 Гц  
закрытый/открытый;

– набор частот вариант 1 (7 частот): 9.2—10.3-10.9—12.25-13.75—15.4-16.35 Гц;

– набор частот вариант 2 (13 частот): 9.2—9.75-10.3—10.6-10.9—11.525-12.25-13-13.75—14.575-15.4—15.875-16.35 Гц;

– источник энергии: сейсмический сигнал.

Итак, суммируем показатели по частоте с учетом глубины модуляции и набора частот, весь диапазон составляет от 8,2 Гц до 16,35 Гц. Теперь обращаемся вновь к спектру сейсмического сигнала на рис. 54. Констатируем, что данный диапазон частот охватывает левую ветвь спектра, в том числе, захватывает и частоты с максимальной амплитудой. Однако встает естественный вопрос: а как же быть с правой частью ветви? Ответ также понятен: спектр сейсмического сигнала, на рис. 54 хотя и реальный, но он касается другого места и другого тектонического разлома. Спектры различаются для разных мест и повторяются в одном и том же месте. Спектры могут быть сдвинуты по максимуму, как в большую, так и в меньшую сторону, например, спектр камчатских землетрясений сдвинут в область меньших частот. Та-

ким образом, по выявленному диапазону для пирамид в Гизе от 8,2 Гц до 16,35 Гц можно утверждать, что спектр сейсмического сигнала трех великих пирамид в Гизе во время их постройки имел максимум именно в этом диапазоне, в результате чего можно было эффективно воздействовать на первоначальный сейсмически опасный сигнал. Кроме того, есть еще и гармоники, на которых также может быть резонанс, но с меньшей добротностью и амплитудой. Если учесть 3 гармонику, то общий диапазон спектра продлится до 49 Гц, а это, практически весь спектр с максимальной энергией.

В работе В. Яшкардина [56] указано, что центральная частота (несущая) 12.25 Гц. В смесителях из этих частот и несущей частоты вырабатывается тональный набор частот 9.2—9.75-10.3—10.6-10.9—11.525-12.25-13-13.75—14.575-15.4—15.875-16.35 Гц

Открытый саркофаг имеет собственную частоту 98 Гц. Если предположить, что саркофаг был накрыт крышкой, то собственная частота его будет 196 Гц. Соотношение частот  $98/12.25=8$  или  $196/12.25=16$ . То есть, чтобы получить частоту 12.25 Гц, нужно поделить частоту саркофага на 8 ( $2^3$ ) или 16 ( $2^4$ ). Такие совпадения не могут быть случайными. Мы умеем делить частоты с помощью счётчиков, кратных степени 2.

**Физики-теоретики Филипп Морз и Ричард Болт еще в 1947 году вывели формулу для подсчета количества резонансных частот в заданном диапазоне**



**частот в зависимости от объема и линейных размеров помещения [44], откуда видно, что количество резонансов помещения, приходящихся на одну и ту же полосу частот, с понижением частоты существенно уменьшается.**

Морз так же подсчитал, сколько в помещении должно быть резонансов в заданном интервале частот для того, чтобы без заметных искажений нести форму звука длительностью порядка 0,1 с. Результат его расчетов таков: **в интервале  $\Delta f=10$  Гц должно быть не менее 10 резонансов.**

**Согласно теории Филиппа Морза и Ричарда Болта, будут и другие резонансы.** Их можно вычислить по длине, ширине, диагонали, внутреннему периметру. В этой теории звуковые волны могут резонировать не только по длине, но и по диагонали саркофага, и могут отражаться от 4-х стенок и от всех 6 стенок при закрытой крышке. Поэтому, легко подсчитать эти резонансы, они оставят 41,61 Гц, 16,15 Гц, 12,11 Гц и др. Таким образом они находятся в диапазоне от 98 Гц до 12,11 Гц. При этом, осевые резонансы имеют большую добротность и амплитуду. А диагональные – меньшую добротность и амплитуду.

О резонансах писал Андрей Скляров в своей книге «Пирамиды: загадки строительства и назначения» [57]. Достаточно давно исследователями подмечено, **что внутри Великой пирамиды очень сильная акустика. Все внутренние конструкции как будто специально построены**

**так, чтобы резонировать на определенных частотах.** И достаточно часто можно увидеть кого-то из посетителей Великой пирамиды, пытающихся гудеть в разных местах пирамиды в поисках резонирующего эха.

Интересное открытие было сделано экспедицией Шора. Выяснилось, что пол Камеры Царя не опирается на твердую скалу. Мало того, что весь гранитный комплекс окружен массивными стенами известняка с промежутком между гранитом и известняком. В итоге вокруг камеры образуются как бы полые «кольца». Третью деталь отметил еще Флиндерс Петри, который долго ломал над ней голову. Он обнаружил кремниевую гальку под «саркофагом». Петри исходит из того, что кому-то понадобилось зачем-то приподнимать «саркофаг» уже после того, как пирамида была построена. Хотя все указывает скорее на то, что это – задумка самих строителей. Она обеспечивает как бы «подвешенное» состояние «саркофага», **заметно усиливая его резонирующие свойства.**

Кстати, вполне возможно, что тут мы, вдобавок, сталкиваемся с неточностями перевода, и Петри ведет речь вовсе не о «кремниевой гальке», а о кусках кварца, который действительно обнаруживается под саркофагом. Кварц же обладает весьма нетривиальными свойствами пьезоматериала.

На четвертый элемент обращает внимание Кристофер Данн в своей книге «Электростанция Гизы». «Выше Камеры Царя – пять рядов гранита из 43 блоков в среднем

по 70 тонн каждый. Каждый слой отделен пространством, достаточно большим, чтобы человек мог проползти в него. Блоки красного гранита обработаны и выровнены с трех сторон, но оставлены, по-видимому, нетронутыми на верхней поверхности, которая груба и не выровнена. Некоторые из них даже имеют отверстия, выдолбленные на их верхней части». «Проверяя частотные характеристики, Том Данлей помещал акселерометры в места выше Камеры Царя. Выяснилось, что блоки в так называемых разгрузочных камерах подобны диафрагме в динамике.

Более того, Данн указывает на возможность того, что именно для улучшения резонирующих свойств этих камер в гранитных блоках в некоторых местах сделаны углубления – строители (вместо просто выравнивания блоков) выбирали «излишки» материала так, чтобы обеспечить весьма тонкую «настройку» гранитных блоков на резонансную частоту всей конструкции.

«В то время как современные исследования в области архитектурной акустики преимущественно сосредотачиваются на уменьшении эффекта отражения звука в замкнутых пространствах, есть причина полагать, что древние строители пирамиды пытались достичь противоположного. Большая Галерея, которая считается архитектурным шедевром, представляет собой замкнутое пространство, в котором были установлены резонаторы в отверстиях на выступе, проходящем по всей длине Галереи. По мере прохождения vibra-

ций земли через Великую Пирамиду, **резонаторы преобразовывали энергию в акустические колебания.** В соответствии с проектом, углы и поверхность стен и потолка Большой Галереи вызывали отражение звука и его фокусировку в Камере Царя. Хотя Камера Царя также отвечала на энергию, текущую через пирамиду, значительная часть энергии протекала бы мимо нее. Целью и задачей Большой Галереи была передача энергии, текущей через большую область пирамиды, в резонансную Камеру Царя. Затем этот звук сосредотачивался в гранитной резонирующей полости с амплитудой, достаточной, чтобы привести к колебанию гранитных блоков потолка. Эти блоки, в свою очередь, составляли блоки выше них гармонично резонировать.

Таким образом, благодаря входящему звуку и резонансным процессам, весь гранитный комплекс, в действительности, становился вибрирующим сгустком энергии» (Данн, «Электростанция Гизы»). Если учесть, что относительно на небольшом расстоянии от плато Гиза проходят сразу **два крупных геологических разлома**, и плато оказывается в весьма сейсмоактивной зоне, то мы получаем из Великой пирамиды что-то типа технического устройства по извлечению энергии из недр Земли. И как выясняется, для работы этого технического устройства вовсе не нужны постоянные землетрясения.

# **Фокусировка или сжатие сейсмического сигнала внутри пирамиды**

В среднем интенсивность магнитного поля Земли колеблется от 25 до 65 мкТл (0,25 – 0,65 Гс) и сильно зависит от географического положения [63, 64, 65, 66]. Это соответствует средней напряжённости поля около 0,5 Э (40 А/м). На магнитном экваторе её величина – около 0,34 Э, у магнитных полюсов – около 0,66 Э. В некоторых районах (магнитных аномалий) напряжённость резко возрастает: в районе Курской магнитной аномалии она достигает 2 Э. Магнитный дипольный момент Земли на 2015 год составлял  $7,72 \cdot 10^{25}$  Гс·см<sup>3</sup> (или  $7,72 \cdot 10^{22}$  А·м<sup>2</sup>), уменьшаясь в среднем за последние десятилетия на  $0,007 \cdot 10^{25}$  Гс·см<sup>3</sup> в год.

Магнитное поле Земли – это область вокруг нашей планеты, где действуют магнитные силы. Земное ядро состоит из твердой внутренней и жидкой наружной частей. Вращение Земли создает в жидком ядре постоянные течения. Движение электрических зарядов приводит к появлению вокруг них магнитного поля. Одна из самых распространенных теорий, объясняющих природу поля, – теория динамо-эффекта – предполагает, что конвективные или турбулентные движения проводящей жидкости в ядре способству-

ют самовозбуждению и поддержанию поля в стационарном состоянии. **Землю можно рассматривать как магнитный диполь.** Его южный полюс находится на географическом Северном полюсе, а северный, соответственно, на Южном. На самом деле, географический и магнитный полюса Земли не совпадают не только по направлению. Ось магнитного поля наклонена по отношению к оси вращения Земли на 11,6 градуса. Из-за того, что разница не очень существенная, мы можем пользоваться компасом. Его стрелка точно указывает на южный магнитный полюс Земли и почти точно на Северный географический. Если бы компас был изобретен 720 тысяч лет назад, то он бы указывал и на географический, и на магнитный северный полюс. **Магнитное поле защищает жителей Земли от губительного воздействия космических частиц.** Магнитное поле изменяет траекторию их движения, направляя частицы вдоль линий поля. Необходимость наличия магнитного поля для существования жизни сужает круг потенциально обитаемых планет. Кроме следов признаков по смене полюсов, исследователи заметили в магнитном поле Земли опасные подвижки. Анализ данных о его состоянии за несколько лет показал, что в последние месяцы в нем начали происходить опасные изменения. Настолько резких изменений поля ученые не регистрировали уже очень давно. Вызывающая беспокойства исследователей зона находится в южной части Атлантического океана. Толщина магнитного поля в этом районе не превы-

шает трети от нормальной. Исследователи давно обратили внимание на эту прореху в магнитном поле Земли. Собранные за 150 лет данные показывают, что за этот период поле здесь ослабло на десять процентов.

**Заметное влияние на магнитное поле на поверхности Земли оказывают токи в ионосфере.** Эта область верхней атмосферы, простирающаяся от высот порядка 100 км и выше, содержит большое количество ионов. Плазма удерживается магнитным полем Земли, но её состояние определяется взаимодействием магнитного поля Земли с солнечным ветром, чем и объясняется связь магнитных бурь на Земле с солнечными вспышками.

Точки Земли, в которых напряжённость магнитного поля имеет вертикальное направление, называют магнитными полюсами. Таких точек на Земле две: северный магнитный полюс и южный магнитный полюс.

Немецкий учёный Георг Гартман открыл **магнитное наклонение**. Магнитным наклонением называют угол, на который стрелка под действием магнитного поля Земли отклоняется от горизонтальной плоскости вниз или вверх. В полушарии севернее магнитного экватора (который не совпадает с географическим экватором) северный конец стрелки отклоняется вниз, в южном – наоборот. На самом магнитном экваторе линии магнитного поля параллельны поверхности Земли. **Угол, на который отклоняется магнитная стрелка от направления север – юг, называют магнит-**

**ным склонением.** Христофор Колумб открыл, что магнитное склонение не остается постоянным, а претерпевает изменения с изменением географических координат.

Внешней средой, из которой двигатель черпает энергию, является магнитное поле Земли. При этом **как источник энергии** предложено **использовать вертикальную составляющую магнитного поля Земли.** В нашем северном полушарии вертикальная магнитная составляющая магнитного поля Земли направлена строго **сверху вниз**. Эта направленность сверху вниз, обусловлена тем, что мы живем в Северном полушарии, а в Северном полушарии как раз и находится Южный магнитный полюс. И все условные силовые линии магнитного поля Земли, выходящие из Северного магнитного полюса, уже в нашем полушарии входят в Землю и как раз сверху вниз, под разными углами. При этом эпицентр этого вхождения происходит там, где кучность этих нисходящих магнитных силовых линий и там есть Южный магнитный полюс. А по мере удаления от него к экватору кучность этих нисходящих магнитных силовых линий постепенно уменьшается и на экваторе эта вертикальная составляющая магнитного поля Земли практически не обнаруживается.

В книге «Магнитное поле Земли». С. М. Курашев [67] дает параметры магнитного поля Земли в г. Москве:

- горизонтальная составляющая – 15,97 мкТл,
- вертикальная составляющая – 48,23 мкТл,



- модуль вектора магнитной индукции – 50,71 мкТл,
- магнитное наклонение – 71,68°

**Наличие вертикальной составляющей и делает возможным получение толкающей силы не только над магнитными полюсами Земли, а и над практически всеми полушариями исключая экватор и приближенные к нему зону, где вертикальная составляющая магнитного поля Земли практически уже не обнаружима.**

**О магнитной линзе.** Эти нисходящие силовые линии вертикальной составляющей имеют малую кучность. И их нужно предварительно собрать в нужном объеме пространства. Сделать это можно за счет так называемой магнитной линзы. Для того, **чтобы собрать в пучок силовые магнитные линии, понадобится «линза» из ферромагнетика**, например из железа. Ферромагнетик, как известно, **втягивает в себя внешнее магнитное поле.** Самое важное то, **что с помощью данного практически вечного двигателя возможно получать энергию из магнитного поля Земли круглый год, в любую погоду, в любое время суток, до тех пор, пока будет существовать магнитное поле Земли.**

# Конец ознакомительного фрагмента.

Текст предоставлен ООО «ЛитРес».

Прочитайте эту книгу целиком, [купив полную легальную версию](#) на ЛитРес.

Безопасно оплатить книгу можно банковской картой Visa, MasterCard, Maestro, со счета мобильного телефона, с платежного терминала, в салоне МТС или Связной, через PayPal, WebMoney, Яндекс.Деньги, QIWI Кошелек, бонусными картами или другим удобным Вам способом.